

sig 458.1 = 60

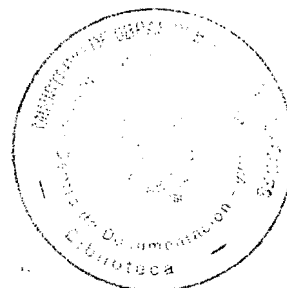
SERVICIO DE TECNICAS DE ANALISIS Y PREDICCIÓN

NOTA TECNICA Nº 12

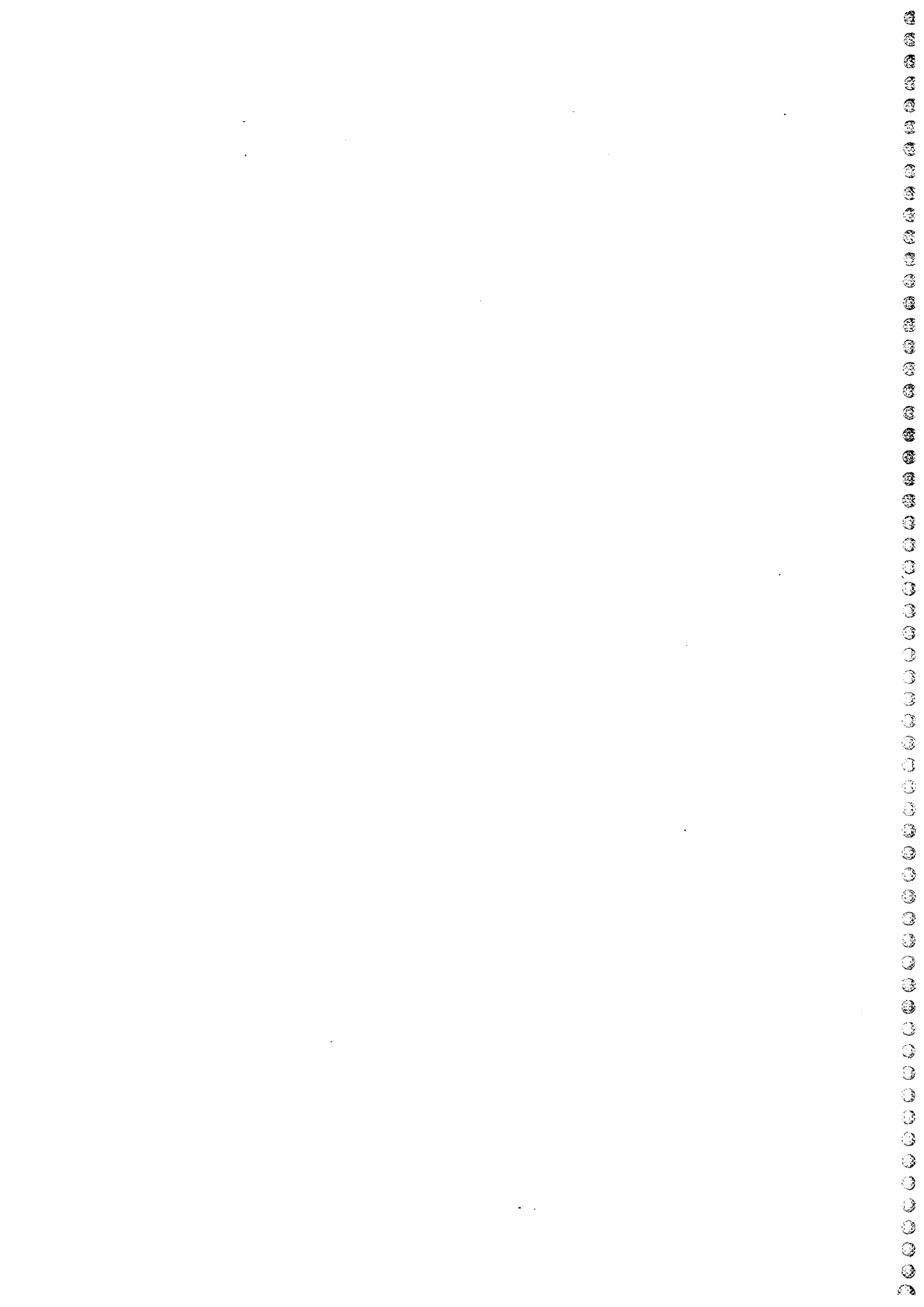
-0-

Caracterización a partir de las imágenes de satélite

O. Carretero Porris
M. Canalejo Mendaza
R. Riosalido Alonso



INSTITUTO NACIONAL DE METEOROLOGIA
Subdirección General de Predicción y Vigilancia



Indice

1.- Introducción.

2.- Análisis de resultados.

2.1.- Tamaño de los SCM.

2.2.- Clasificación de los SCM.

2.3.- Ciclo diurno.

2.4.- Temperaturas mínimas de las cimas.

2.5.- Localización geográfica.

2.6.- Ciclo de vida de los SCM.

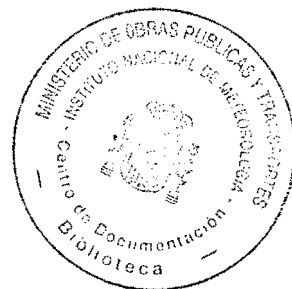
3.- Conclusiones.

4.- Referencias.

Anexo I.- Areas cubiertas por cimas con temperaturas inferiores a ciertos valores.

Anexo II.- Trayectorias y longitudes de ejes.

AnexoIII.- Valores estadísticos de las temperaturas de las cimas.



1.- Introducción:

En esta Nota Técnica se continúa el estudio de los fenómenos convectivos que afectan al área mediterránea española y presentan características de Sistemas Convectivos de Mesoescala (SCM) (Riosalido, 1990,1991; Canalejo *et al.*, 1993). En esta ocasión el estudio se limita a la Campaña PREVIMET MEDITERRÁNEO-91.

Con este trabajo se pretende ampliar la base de datos de que se dispone para, en un primer paso, elaborar una "Climatología" de SCM en nuestra zona. A partir de ésta se pretende caracterizar estas estructuras en profundidad y elaborar los modelos conceptuales adecuados para la predicción de estos fenómenos a corto y muy corto plazo.

Al igual que para Campañas anteriores este estudio se realiza desde el punto de vista de Satélite e incluye la descripción del ciclo de vida de los sistemas. Se continúa con los mismos criterios a la hora de considerar una estructura convectiva como SCM y en general la metodología de este trabajo ha sido análoga a la ya seguida en la Campaña de 1990 (Riosalido *et al.*, 1993).

2.- Análisis de resultados

Durante los tres meses (Septiembre, Octubre y Noviembre) que constituyen la Campaña PREVIMET MEDITERRÁNEO-91 surgieron 21 estructuras que cumplen las condiciones de SCM. La muestra estudiada se ha completada con otros dos sistemas que surgieron a finales del mes de Agosto ya que, aunque fuera de las fechas críticas, sus características fueron lo suficientemente importantes como para justificar esta inclusión en la muestra.

Los 23 SCM que constituyen la muestra de la Campaña-91 se han clasificado por tamaños siguiendo el criterio de las Campañas anteriores y se detallan en la Tabla I, en la que figuran el Tipo de SCM según su tamaño, su nombre- que, como ya es habitual, es asignado arbitrariamente-, la fecha en que surgió y los datos correspondientes a los momentos de máxima extensión de las áreas de -32°C y de -48°C : hora, extensión (en miles de Km^2), longitud del eje mayor (en Km) y excentricidad.

Los valores de las áreas bajo la isoterma de -32°C varían, como se ve en la Tabla I, entre 29.000 Km^2 - del orden del tamaño de las grandes tormentas- hasta 167.000 Km^2 - del tamaño de los CCM de Maddox-. En particular se ha comprobado si cumplen las condiciones de Maddox los SCM que por su tamaño entran en la categoría de SCM de Tipo I a partir de los datos que se detallan en el Anexo III de esta Parte I de la Nota Técnica. El resultado de esta comprobación es la siguiente:

Los SCM "U" y "M" cumplen todas las condiciones impuestas por Maddox luego se pueden considerar CCM. En las imágenes que se adjuntan a la Parte II de esta Nota Técnica se pueden comprobar los tamaños, la duración y los grandes desarrollos alcanzados por estos CCM.

			Máxima Extensión.							
			-32°C				-48°C			
TIPO	SCM	DÍA	HORA	ÁREA	EJE	EXC	HORA	ÁREA	EJE	EXC
SCM-I	U	25/09	18:00	167	495	0.8	16:30	125	422	0.9
	M	11/09	19:00	140	481	0.9	19:00	104	481	0.9
	C	31/08	04:30	135	564	0.7	04:30	84	564	0.7
	K	06/09	15:30	107	417	0.6	13:30	75	354	0.9
	Q	20/09	20:00	84	385	0.7	19:00	57	420	0.6
SCM-II	G	04/09	22:30	80	438	0.5	22:00	49	419	0.6
	L	11/09	21:30	82	368	0.7	21:00	48	403	0.7
	S	20/09	23:00	67	285	1.0	20:00	46	367	0.7
	V	25/09	22:30	55	337	0.7	22:30	46	337	0.7
	F	06/09	07:00	77	356	0.8	06:00	45	308	1.0
	P	11/09	20:00	62	316	1.0	19:00	42	326	0.9
	T	21/09	23:00	66	289	1.0	22:00	40	329	0.8
	A	26/10	20:30	88	398	0.7	19:30	39	382	0.7
	E	02/09	23:00	63	353	0.6	22:00	37	318	0.8
	B	20/08	18:00	49	336	0.6	17:00	31	400	0.4
	W	25/09	23:00	42	197	1.0	23:00	31	197	1.0
	H	05/09	06:00	43	262	0.7	06:00	29	262	0.7
	R	20/09	17:00	35	234	0.9	17:00	28	234	0.9
	N	11/09	16:30	42	371	0.3	16:30	26	371	0.3
	J	06/09	22:00	43	286	0.6	21:00	26	260	0.8
SCM-III	O	11/09	20:00	43	313	0.5	20:00	25	313	0.5
	D	02/09	16:30	31	313	0.4	16:00	20	305	0.4
	I	06/09	11:30	29	227	0.6	11:30	20	227	0.6

Tabla I.- SCM estudiados en la Campaña Previmet-91 (Sep-Nov 1991).

El SCM "C" cumple también todas las condiciones salvo la referente a la duración. Según los datos objetivos de que se dispone este sistema cumple las condiciones durante 4 horas. Para ser considerado CCM debería tener una duración igual o superior a 6 horas. El estudio de este sistema con el SAIDAS comienza muchas horas después del inicio de su ciclo de vida por problemas de archivo. A las 01:00Z del 1 de Septiembre, primera imagen de que se dispone, el sistema ya cumple las condiciones de Maddox por lo que es posible que las cumpliera 2 horas antes y, en ese caso, el SCM "C" también puede - con estas salvedades- considerarse como CCM.

Por el contrario, los SCM "K" y "Q" no tienen la suficiente entidad y no pueden ser considerados CCM.

La distribución por meses de los sistemas estudiados ha sido la siguiente:

Agosto: 2 casos
 Septiembre: 20 casos
 Octubre: 1 caso
 Noviembre: ningún caso.

En la Tabla II se resume la información referente a la hora de aparición de las primeras tormentas que evolucionan posteriormente hacia SCM y la duración de éstos.

TIPO	SCM	FECHA	P. TOR	DURACIÓN
SCM-I	U	25/09	07:00	16:00
	M	11/09	09:30	13:30
	C	31/08	19:00	19:00
	K	06/09	09:00	10:30
	Q	20/09	12:00	15:00
SCM-II	G	04/09	15:30	11:30
	L	11/09	14:00	09:00
	S	20/09	14:30	15:30
	V	25/09	15:00	> 08:00
	F	06/09	02:30	06:30
	P	11/09	14:00	09:00
	T	21/09	16:30	13:30
	A	26/10	13:30	09:00
	E	02/09	15:00	11:30
	B	20/08	12:30	11:30
	W	25/09	15:30	> 07:30
	H	05/09	02:00	08:00
	R	20/09	13:00	09:30
	N	11/09	12:00	11:00
	J	06/09	17:00	06:00
SCM-III	O	11/09	14:00	09:00
	D	02/09	12:00	09:30
	I	06/09	08:00	03:30

Tabla II.- SCM estudiados en la Campaña Previmet-91 (Sep-Nov 1991).

2.1.- Tamaños de los SCM

En la figura 1 se muestra la distribución de la longitud del eje mayor de los sistemas convectivos que constituyen la muestra de la Campaña-91 en el momento de máxima extensión del área bajo la isoterma de -32°C . Se observa que la mayoría de ellos (11 casos) tienen ejes que miden entre 300 y 400 Km. Sólo uno de ellos, el SCM "C", supera los 500 Km.

Longitud del eje mayor (momento de máxima extensión)

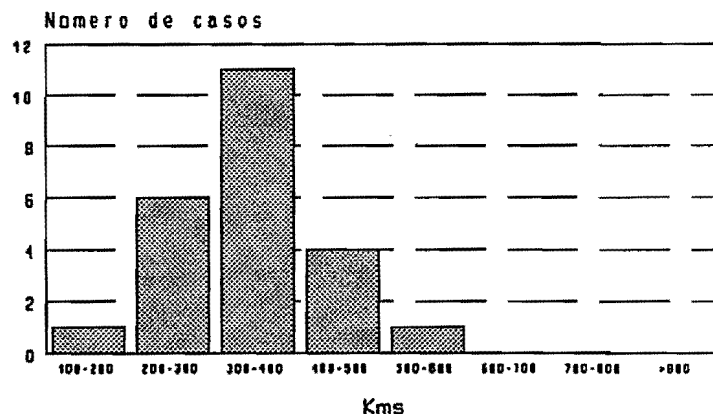


Figura 1.- Longitud del eje mayor de los SCM en el momento de máxima extensión.

En la figura 2 se representan las áreas cubiertas, en el momento de máxima extensión, por las isotermas de -32°C y las de -48°C . Se deduce de esta figura que la mayoría de los sistemas ocupan una extensión entre 25 y 50.000 Km^2 , aunque este máximo (correspondiente a 9 casos) no es muy representativo. En cuanto a la superficie cubierta por temperaturas más frías, sí presenta un máximo representativo (16 casos) entre 25 y 50.000 Km^2 .

Area cubierta isotermas de -32°C y -48°C (momento de máxima extensión)

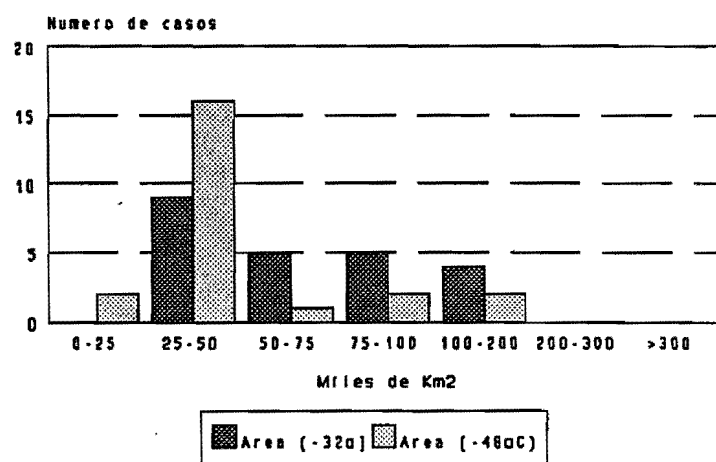


Figura 2.- Areas cubiertas por las isotermas de -32°C y -48°C .

2.2.- Clasificación de los SCM

Como se ha hecho para las Campañas anteriores y ya se ha mencionado, los SCM se han clasificado por tamaños a partir del área cubierta por la isoterma de -48°C . en la Tabla III se muestran los primeros resultados estadísticos (valores medios) obtenidos de esta clasificación.

Tipo	Nº Casos	Extensión (miles Km^2)		Eje Mayor (Km)		Excentricidad		Duración Total (Horas)
		-32°C	-48°C	-32°C	-48°C	-32°C	-48°C	
SCM-I	5	127	89	468	448	0.7	0.8	14.8
SCM-II	15	60	38	322	328	0.7	0.7	>9.8
SCM-III	3	34	22	284	282	0.5	0.5	7.3

Tabla III.- Características medias de los distintos tipos de SCM (Sep.-Nov. de 1991).

La primera conclusión que se saca a la vista de esta tabla es que las estructuras objeto de este estudio, tanto por su escala espacial (ejes entre 284 y 468 Km) como temporal (duración entre 7 y 15 horas) son fenómenos que evolucionan dentro de la mesoescala.

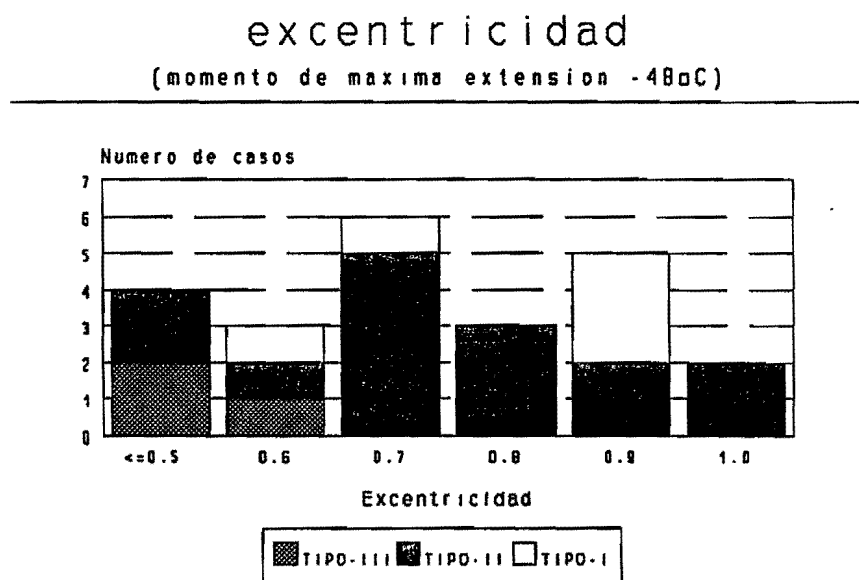


Figura 3.- Excentricidad.

Todos los valores que aparecen en la tabla III son muy similares a los obtenidos en Campañas anteriores salvo en lo que se refiere a las excentricidades. En la figura 3 se representa la distribución de excentricidades de los sistemas convectivos. En general los sistemas del 91 han sido menos circulares que los del 90 y, contrariamente a lo que se había observado en la Campaña de 1989, los sistemas más pequeños (Tipo III) son los menos circulares. Hay que tener en cuenta a la hora de valorar este resultado el escaso número de casos (sólo 3) que constituyen esta muestra. Por otro lado, los SCM de Tipo I, los más grandes, presentan una distribución de excentricidades muy irregular: tres de ellos son bastante redondos ($e = 0.9$) y, en cualquier caso, todos superan el valor umbral de 0.6.

2.3.- Ciclo diurno

La figura 4 muestra la distribución de duraciones de los SCM desde la aparición de las primeras tormentas hasta su disipación. Vuelve a observarse que los sistemas más grandes son los que más duran.

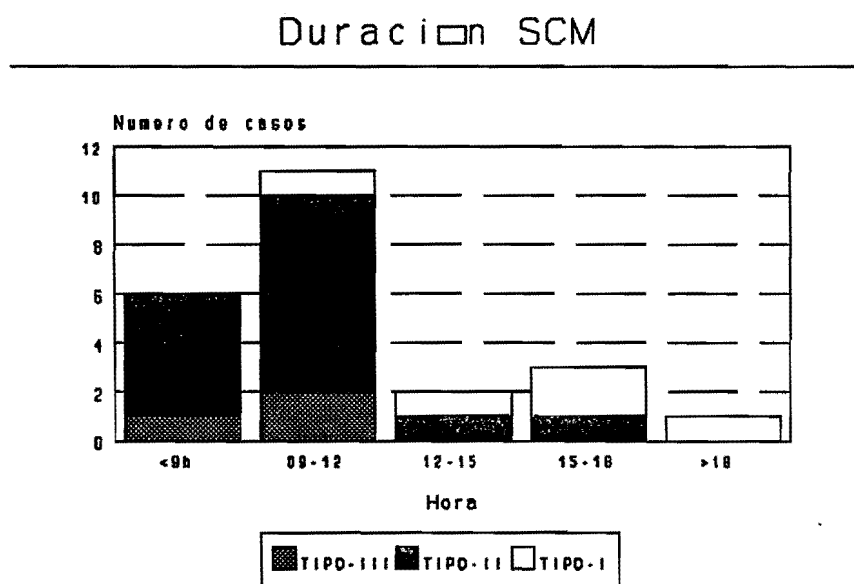


Figura 4.- Duración de los SCM-91.

En la figura 5 se representa la distribución de la hora de inicio de las primeras tormentas. En ella se ve que la mayoría de los sistemas de la presente muestra se iniciaron entre las 12:00Z y las 18:00Z. Por otro lado, en la figura 6 se ve que, como es lógico, los sistemas alcanzan su máxima extensión a últimas horas de la tarde, aunque esta gráfica no presenta un máximo tan marcado como la anterior debido a la diferente duración de los sistemas. Estas dos gráficas son prácticamente iguales a las que se obtuvieron para los sistemas del 90 sin embargo no se parecen a los resultados del 89. En este año el origen de los sistemas fue entre 18 y 03Z con las máximas extensiones en horas nocturnas, resultados que coinciden mejor con los obtenidos en otras partes del mundo (Maddox, 1980; Velasco y Fritsch, 1987; Miller y Fritsch, 1991; Laing y Fritsch, 1993).

Hora inicio primeras tormentas

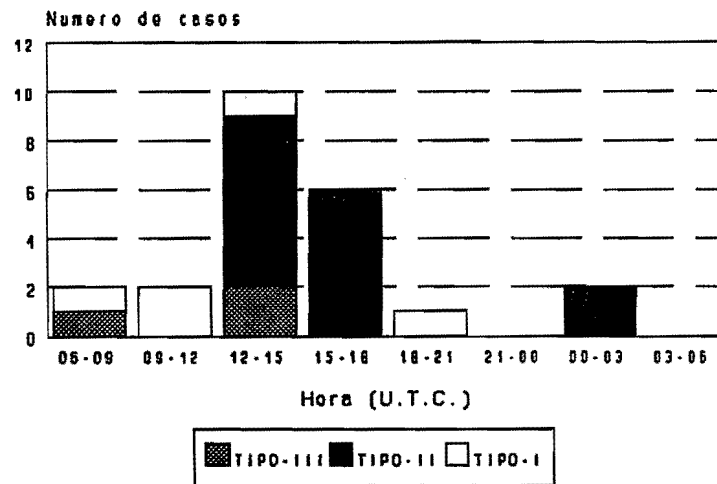


Figura 5.- Hora de inicio de las primeras tormentas.

Hora de maxima extension (area de -48°C)

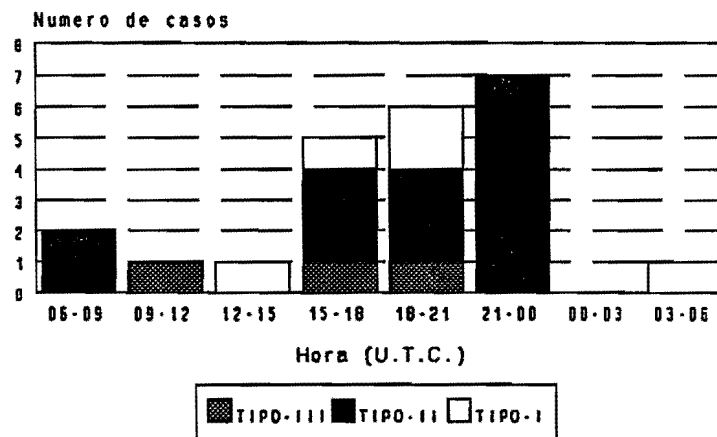


Figura 6.- Hora de máxima extensión del área de -48°C .

2.4.- Temperaturas mínimas de las cimas

La figura 7 muestra la distribución de estas temperaturas y en ella se observa, como en años anteriores, que los sistemas más grandes (Tipo I) alcanzan temperaturas más frías, es decir, mayores desarrollos. El máximo de la gráfica se encuentra entre -60 y -65°C que está de acuerdo con los resultados obtenidos en 1989, mientras que en el año 90 los sistemas en general alcanzaron mayores desarrollos (cimas entre -65 y -70°C).

Temperatura mínima de las cimas

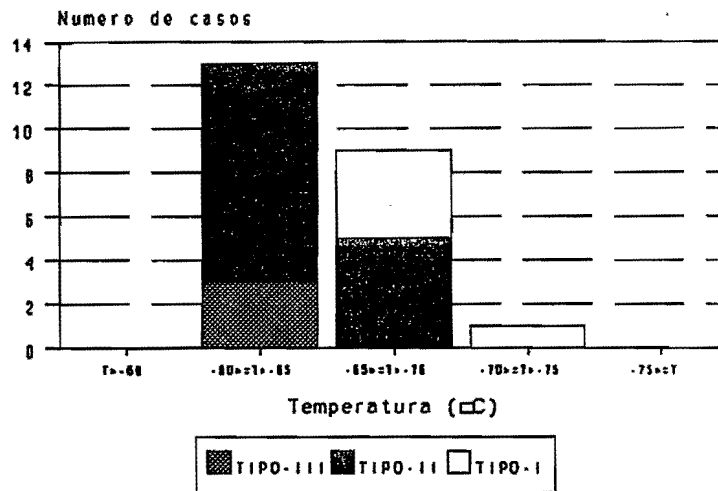


Figura 7.- Temperatura mínima de las cimas (SCM-91).

2.5.- Localización geográfica

En la figura 8 se representan las posiciones en las que surgieron las primeras tormentas que posteriormente evolucionan hacia sistemas convectivos, así como el nombre que ha sido asignado arbitrariamente a cada uno de ellos. En ella se ve que en esta Campaña predominan los núcleos que han surgido en tierra (16 de los 23 casos seleccionados) y, de ellos, en aproximadamente la mitad de los casos se puede pensar en un forzamiento orográfico inicial. Por el contrario solo 5 núcleos han surgido sobre el mar y otros 2 en la costa. Estos resultados contrastan con los obtenidos en la Campaña del 89 en la que los sistemas surgieron preferentemente en la costa y en el mar, y con la Campaña del 90 en la que surgieron indistintamente sobre tierra y sobre el mar.

En la figura 9 se muestran las trayectorias que siguieron los sistemas convectivos desde su inicio hasta su disipación. Vuelve a observarse que los SCM, en general, se desplazan hacia el NE influidos por el flujo de niveles medios.

En la figura 10 se representan las posiciones de los núcleos fríos de los SCM cada media hora. Esto indica la frecuencia relativa de la presencia de estos fenómenos. Destaca la gran densidad de puntos en el cuadrante NE de la Península. Esto se refleja también en la figura 11 donde se han pintado las isolíneas de frecuencia con la que un SCM dado ha tenido su núcleo localizado en cajas de $1^\circ \times 1^\circ$. En ella se ve que el máximo (24) está situado sobre el Golfo de León y luego aparece un máximo secundario (18) en la Meseta sobre el Sistema Central. Por otro lado destaca el hecho de que no ha habido ocurrencia de SCM al S de Baleares ni en el mar de Alborán como en Campañas anteriores.

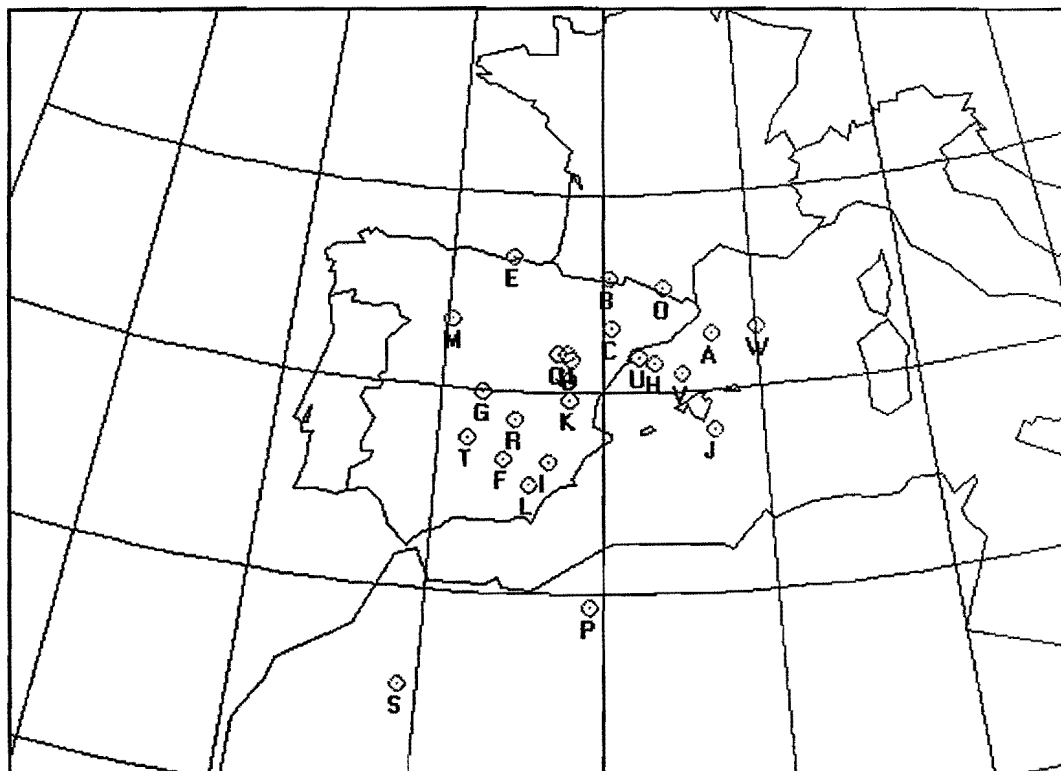


Figura 8.- Localización de las primeras tormentas (SCM-91)

2.6.- Ciclo de vida de los SCM

En este trabajo se ha seguido la línea, ya iniciada para la Campaña-90, de intentar caracterizar el ciclo de vida de los sistemas convectivos siguiendo el modelo de Zipser (Zipser, 1981) en tres fases: desarrollo, madurez y disipación. Para ello se han seguido utilizando los dos tipos de gráficas que se introdujeron para la Campaña-90: la "gráfica de áreas", que caracteriza las fases de desarrollo y disipación, y el "índice convectivo" que determina el comienzo de la fase de madurez.

Estas gráficas se incluyen en la Parte II de esta Nota Técnica para todos los sistemas seleccionados en la Campaña-91. Se han intentado caracterizar las distintas fases a partir de la isoterma de -48°C salvo en aquellos casos que presentan gran actividad convectiva; en éstos últimos se ha utilizado área la caracterización de la isoterma de -52°C .

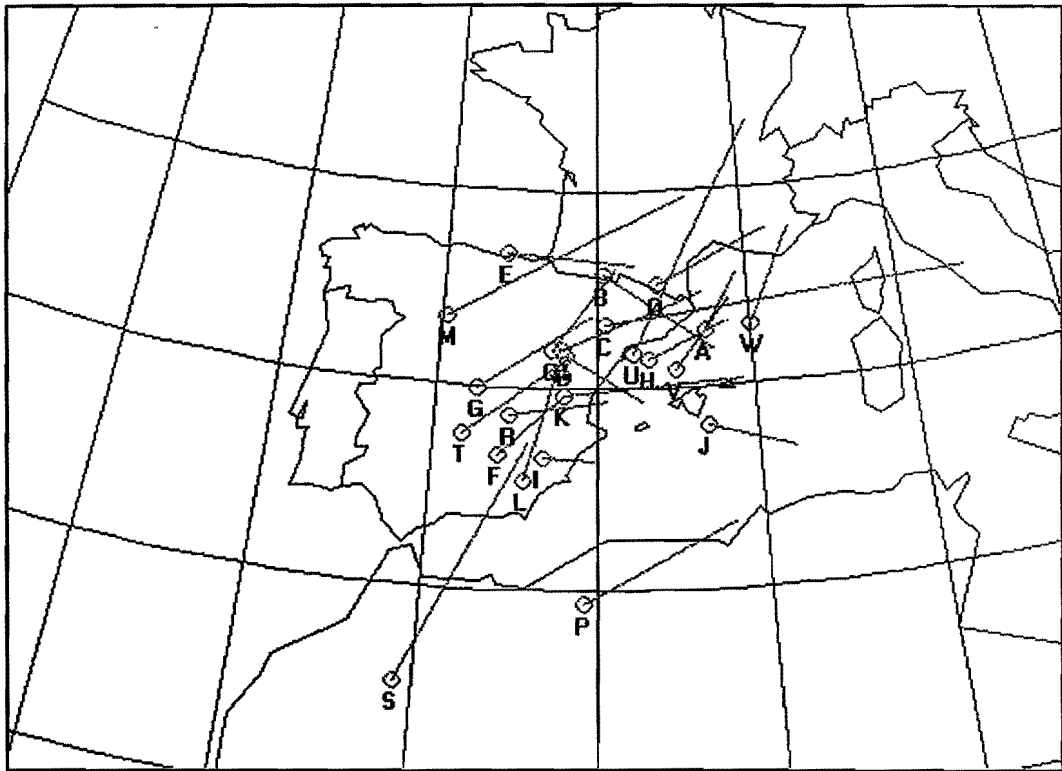


Figura 9.- Trayectorias simplificadas de los SCM-91.

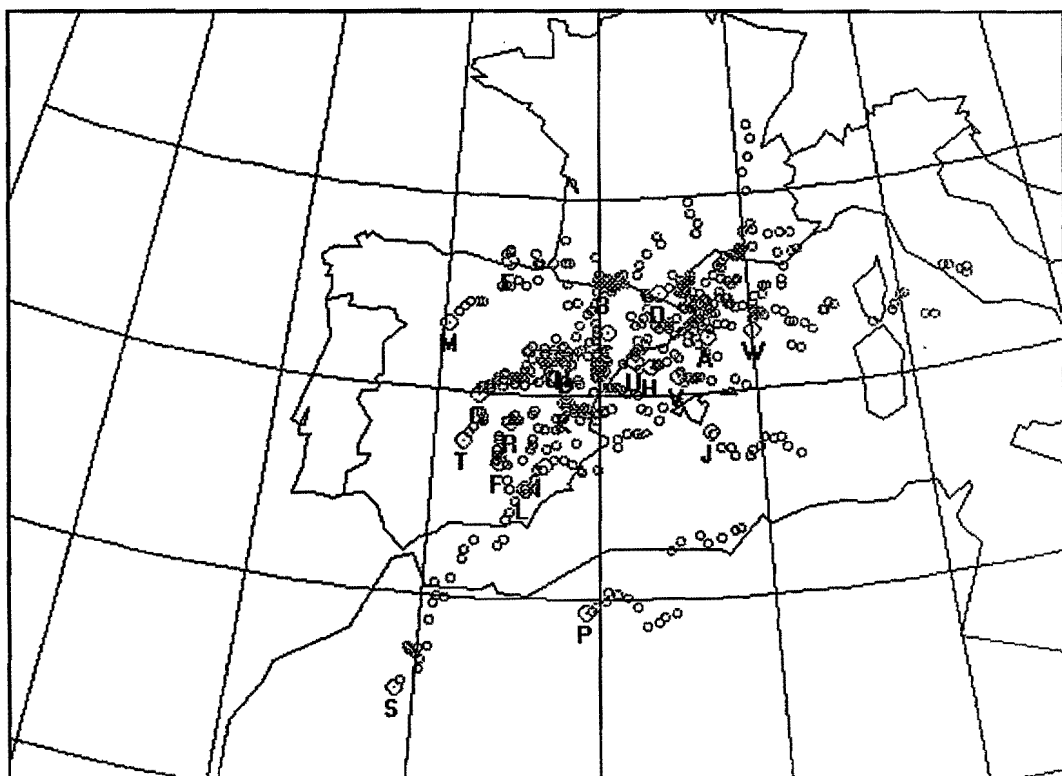


Figura 10.- Posiciones de los SCM-91.

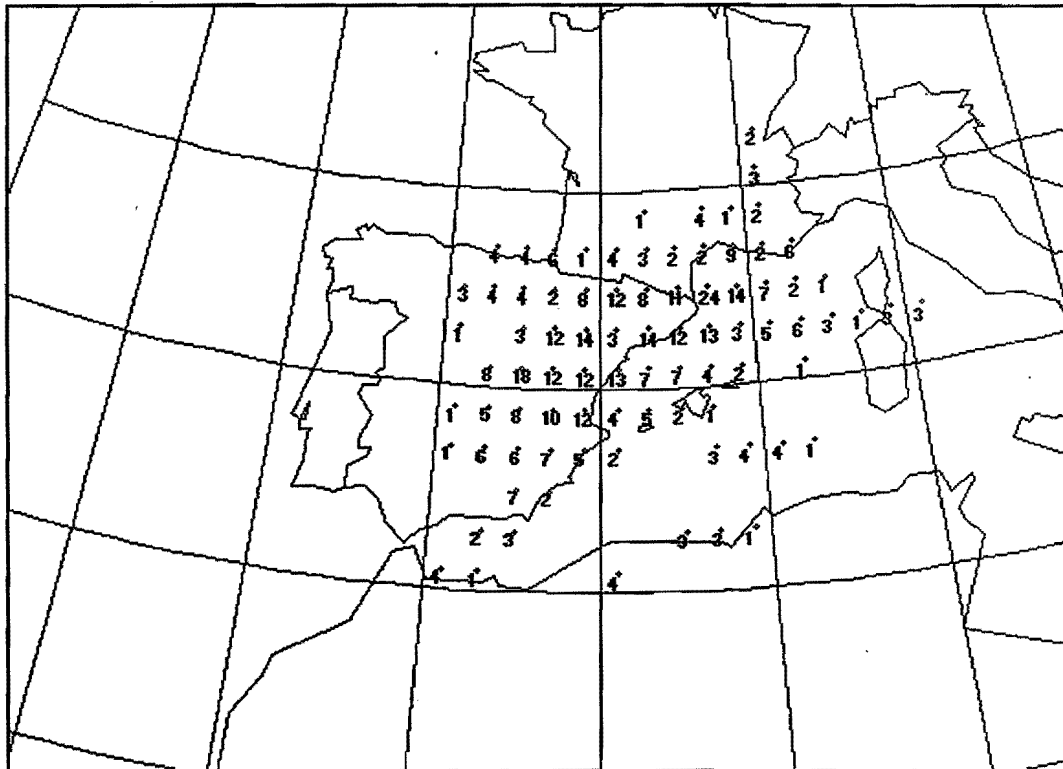


Figura 11.- Frecuencia de localización de los SCM -91 en cajas de 1° x 1°.

3.- Conclusiones

Con el estudio de la Campaña PREVIMET-91 se concluye el estudio de los SCM que surgieron durante los años 1989, 1990 y 1991. Las conclusiones que se pueden extraer continúan en la misma línea señalada en la Campaña anterior (Canalejo *et al.*, 1993). Destacar únicamente dos puntos:

1.- La forma en V que adoptaron varios sistemas y que se intentará observar de nuevo en futuras Campañas.

2.- Aún no se puede establecer un criterio objetivo para determinar cuándo un sistema nuboso llega a ser un SCM. A través de las distintas gráficas que se han comentado en el apartado anterior se pueden obtener las partes del ciclo de vida: desarrollo, madurez y disipación, sin embargo no podemos obtener de ellas información para caracterizar el "comienzo", "final" y "duración" de los sistemas de forma totalmente objetiva.

La línea de trabajo a seguir es la de continuar ampliando la base de datos con Campañas posteriores y cuando sea posible completar el estudio a través de otras herramientas meteorológicas (rayos, radares,...).

4.- Referencias

FRITSCH,J.M. and MADDOX,R.A. (1981). *Convectively driven Mesoscale Weather Systems Aloft. Part I: Observations*. Journal of Applied Meteorology. Vol.20.

MADDOX,R.A.(1980). *Mesoscale Convective Complexes*. Bull.Amer.Met. Soc.Vol.69 pp.1374-1378.

RIOSALIDO,R. (1990). *Caracterización mediante imágenes de satélite de los Sistemas Convectivos de Mesoescala durante la Campaña Previmet Mediterráneo-89*. II Simposio Nacional de Predicción del I.N.M., Madrid pp. 135-148.

RIOSALIDO,R. (1991). *Sistemas Convectivos de Mesoescala. Campaña Previmet Mediterráneo-89*. Nota Técnica S.T.A.P. Nº1. I.N.M. Madrid.

RIOSALIDO,R.;RIVERA,A. y MARTIN,R.(1988). *Desarrollo de un Sistema Convectivo de Mesoescala durante la Campaña Previmet Mediterráneo 87*. I Simposio Nacional de Predictores. INM Madrid.

CANALEJO,M; CARRETERO,O Y RIOSALIDO,R (1993). *Sistemas Convectivos de Mesoescala. Campaña Previmet Mediterráneo-90*. Nota Técnica S.T.A.P. Nº9. I.N.M. Madrid.

RIVERA,A., and RIOSALIDO,R.(1986). *Mediterranean Convective Systems as viewed by Meteosat. A case study*. Proceedings of the VI Meteosat User's Meeting. Amsterdam.

ZIPSER, E.J. (1981). *Utilización de un modelo teórico de ciclo de vida de los Sistemas Convectivos de Mesoescala para mejorar las predicciones a muy corto plazo*. Predicción Inmediata (Versión española de Nowcasting). Madrid, 1990.

ANEXO I

TRAYECTORIAS Y LONGITUDES DE EJES DE LOS SCM



A continuación se presenta un listado con las trayectorias y tamaños de los SCM estudiados en la Campaña Previmet Mediterráneo-91.

En el listado figuran, de izquierda a derecha los siguientes datos:

- SCM Nombre del sistema a que corresponden las medidas
- Día Fecha (juliana) en la que tuvo lugar el SCM
- Hora Hora a la que se realizó la medida que figura a continuación
- LAT/LON Posición del centro del sistema (parte más activa)
- Eje X Longitud, en Km, del eje mayor del SCM considerando el área bajo la isoterma de -32°C.
- Eje N Longitud, en Km, del eje menor del SCM considerando el área bajo la isoterma de -32°C.

Seguimiento de Sistemas Convectivos Mesoscala

Trayectorias y Tamanos de los MCS's

MCS	DAY	TIME	LAT	LON	EJEX	EJEN
B	91232	1230	42:48:17	-00:10:22		
B	91232	1300	42:48:17	-00:15:33		
B	91232	1330	42:48:17	-00:20:44		
B	91232	1400	42:46:19	-00:24:10		
B	91232	1430	42:50:14	-00:10:22		
B	91232	1500	42:50:14	-00:06:55		
B	91232	1530	42:50:14	-00:12:06		
B	91232	1600	42:38:27	-00:24:07		
B	91232	1630	42:28:51	-01:31:01	394	140
B	91232	1700	42:28:53	-01:37:54	400	173
B	91232	1730	42:34:42	-01:27:44	408	181
B	91232	1800	42:32:46	-01:32:51	336	193
B	91232	1830	42:28:51	-01:31:01	339	184
B	91232	1900	42:11:21	-01:30:33	311	192
B	91232	1930	42:01:37	-01:01:19	227	202
B	91232	2000	41:57:49	-01:23:23	209	200
B	91232	2030	41:57:53	-01:40:24	191	180
B	91232	2100	41:44:27	-01:46:48	179	177
B	91232	2130	41:38:51	-02:13:43	176	174
B	91232	2200	41:29:23	-02:25:10	199	156
B	91232	2230	41:27:38	-02:48:45	236	120
B	91232	2300	41:12:35	-03:09:53	250	100
B	91232	2330	41:01:23	-03:24:23	186	92
B	91232	2400	40:54:04	-03:45:44	203	73

Seguimiento de Sistemas Convectivos Mesoscala

Trayectorias y Tamanos de los MCS's

MCS	DAY	TIME	LAT	LON	EJEX	EJEN
C	91243	1330	41:34:40	-00:16:54		
C	91244	0100	42:22:15	-04:13:57	463	414
C	91244	0130	42:08:50	-04:28:23	508	414
C	91244	0200	42:09:01	-04:43:49	474	403
C	91244	0230	42:20:57	-05:08:57	453	418
C	91244	0300	41:59:38	-05:07:00	445	420
C	91244	0330	41:59:47	-05:19:00	515	375
C	91244	0400	41:52:11	-05:25:07	500	378
C	91244	0430	42:00:12	-05:48:10	564	385
C	91244	0500	41:56:35	-06:04:56	567	363
C	91244	0530	41:52:05	-07:21:37	602	358
C	91244	0600	41:41:21	-06:11:51	468	338
C	91244	0630	41:39:34	-06:21:53	371	307
C	91244	0700	41:36:06	-06:43:41	394	342
C	91244	0730	42:01:56	-07:33:16	384	338
C	91244	0800	41:56:24	-07:46:18	389	347
C	91244	0830	41:24:55	-06:57:41	410	386
C	91244	0900	41:50:15	-07:26:33	395	321
C	91244	0930	41:03:22	-06:12:51	419	392
C	91244	1000	40:58:00	-06:30:50	435	396
C	91244	1030	41:25:16	-08:53:55	434	410
C	91244	1100	41:35:45	-09:36:53	459	412
C	91244	1130	41:45:27	-09:42:00	191	162
C	91244	1200	41:57:19	-09:56:13	218	195
C	91244	1230	41:59:25	-10:03:33	274	265
C	91244	1300	41:20:11	-10:39:39	274	235
C	91244	1330	41:20:41	-10:58:44	282	246
C	91244	1400	42:30:52	-11:32:05	268	237
C	91244	1430	42:27:21	-11:45:29	276	151
C	91244	1500	42:20:12	-12:06:55		
C	91244	1530	42:20:12	-12:19:54		
C	91244	1600	42:12:46	-12:17:39		

Trayectorias y Tamanos de los MCS's

MCS	DAY	TIME	LAT	LON	EJEX	EJEN
D	91245	1200	40:47:28	+01:00:02		
D	91245	1230	40:47:26	+00:50:01		
D	91245	1300	40:45:32	+00:30:00		
D	91245	1330	40:45:32	+00:08:20	170	150
D	91245	1400	40:41:47	+00:11:39	183	178
D	91245	1430	40:39:55	+00:06:39	227	145
D	91245	1500	40:41:47	-00:01:40	268	161
D	91245	1530	40:41:47	-01:14:59	292	126
D	91245	1600	40:30:35	-00:01:40	305	121
D	91245	1630	40:26:52	+00:23:12	313	122
D	91245	1700	40:38:02	-00:11:38	308	136
D	91245	1730	40:25:00	-00:09:56	312	126
D	91245	1800	40:13:53	-00:21:28	306	127
D	91245	1830	40:13:53	-00:14:52	289	118
D	91245	1900	40:12:03	-00:29:43	282	121
D	91245	1930	40:08:22	-00:41:14	246	121
D	91245	2000	40:02:50	-00:49:24	223	111
D	91245	2030	40:01:03	-01:07:29		
D	91245	2100	39:40:54	-01:16:56		
D	91245	2130	39:35:27	-01:26:38		

E	91245	1500	43:22:57	+03:40:49		
E	91245	1530	43:30:49	+03:28:24		
E	91245	1600	43:38:48	+03:23:38		
E	91245	1630	43:36:44	+03:14:44		
E	91245	1700	43:36:35	+02:57:09		
E	91245	1730	43:16:30	+02:40:21		
E	91245	1800	43:20:19	+02:14:21	279	142
E	91245	1830	43:20:17	+02:10:51	258	147
E	91245	1900	43:24:12	+01:57:01	290	139
E	91245	1930	43:24:07	+01:41:18	262	177
E	91245	2000	43:20:05	+01:27:13	245	175
E	91245	2030	43:22:02	+01:17:02	259	188
E	91245	2100	43:29:58	+00:55:59	255	195
E	91245	2130	43:56:09	+01:08:47	299	200
E	91245	2200	42:54:13	+00:50:11	318	241
E	91245	2230	42:50:17	+00:50:07	352	233
E	91245	2300	42:38:29	+00:43:03	353	224
E	91246	0130	42:56:10	+00:34:38	214	134
E	91246	0200	43:04:03	+00:00:00	207	140
E	91246	0230	43:00:06	-00:17:20	154	148
E	91246	0300	43:04:05	-00:45:07	127	99
E	91246	0330	43:06:08	-01:12:57	108	93

Seguimiento de Sistemas Convectivos Mesoscala

Trayectorias y Tamanos de los MCS's

MCS	DAY	TIME	LAT	LON	EJEX	EJEN
G	91247	1530	39:58:18	+03:47:11		
G	91247	1600	40:09:19	+03:41:16		
G	91247	1630	40:09:18	+03:37:58		
G	91247	1700	40:12:53	+03:28:14		
G	91247	1730	40:12:52	+03:24:55		
G	91247	1800	40:20:11	+03:13:44	129	112
G	91247	1830	40:18:15	+03:05:20	150	120
G	91247	1900	40:31:14	+02:59:22	203	179
G	91247	1930	40:10:49	+03:00:00	228	197
G	91247	2000	40:20:00	+02:48:51	240	231
G	91247	2030	40:25:29	+02:37:30	399	213
G	91247	2100	40:27:17	+02:25:57	448	205
G	91247	2130	40:34:43	+02:21:16	413	210
G	91247	2200	40:36:30	+02:11:21	419	239
G	91247	2230	40:44:03	+02:19:58	438	237
G	91247	2300	40:23:28	+02:07:34	420	274
G	91248	0130	41:19:28	+00:20:11	127	126
G	91248	0200	41:25:09	+00:08:26	121	112
G	91248	0230	41:30:52	+00:03:23	149	94
G	91248	0300	41:30:52	+00:03:23		
G	91248	0330	41:40:25	+00:01:42		
G	91248	0400	41:48:04	+00:10:11		

H	91248	0200	40:41:58	-01:38:14		
H	91248	0230	40:43:54	-01:49:57		
H	91248	0300	40:47:38	-01:48:24		
H	91248	0330	40:43:52	-01:46:37	134	125
H	91248	0400	40:51:28	-02:06:54	166	124
H	91248	0430	41:12:10	-02:02:36	230	176
H	91248	0500	41:00:57	-02:22:19	244	240
H	91248	0600	41:33:17	-02:40:34	262	192
H	91248	0630	41:42:56	-02:52:56	298	169
H	91248	0700	41:50:39	-03:00:05	252	231
H	91248	0730	41:46:56	-03:15:11	253	213
H	91248	0800	41:35:37	-03:36:34	254	182
H	91248	0830	41:39:25	-03:31:43	219	162
H	91248	0900	41:43:24	-03:48:58	189	124
H	91248	0930	41:41:38	-04:04:08	158	107
H	91248	1000	41:39:51	-04:17:36	116	91

MCS	DAY	TIME	LAT	LON	EJEX	EJEN
F	91249	0230	38:18:53	+03:41:13		
F	91249	0300	38:22:25	+03:36:36	59	59
F	91249	0330	38:27:47	+03:40:80	143	96
F	91249	0400	38:29:37	+03:46:41	193	179
F	91249	0430	38:38:21	+03:26:13	247	193
F	91249	0500	38:50:54	+03:26:53	253	233
F	91249	0530	38:58:05	+03:25:40	301	258
F	91249	0600	38:52:19	+02:31:56	308	304
F	91249	0630	38:45:10	+02:34:53	348	323
F	91249	0700	39:35:45	+02:30:27	356	275
F	91249	0730	39:30:20	+02:17:29	376	305
F	91249	0800	39:28:18	+01:57:29	318	239
F	91249	0830	39:30:04	+01:47:44	244	204
F	91249	0900	39:48:18	+01:41:42	258	146
K	91249	0900	39:48:18	+01:41:42	258	146
K	91249	0930	39:44:33	+01:12:06	283	162
K	91249	1000	39:26:14	+00:47:17	259	137
K	91249	1030	39:35:19	+00:22:53	281	133
K	91249	1100	39:24:23	+00:09:47	374	132
K	91249	1130	39:35:18	-00:04:54	317	164
K	91249	1200	38:53:41	-00:30:42	330	237
K	91249	1230	38:44:43	-00:33:52	357	268
K	91249	1300	39:04:31	-00:51:52	385	277
K	91249	1330	39:02:46	-01:11:17	354	334
K	91249	1400	39:22:48	-01:50:47	391	303
K	91249	1430	39:42:53	-01:57:57	375	309
K	91249	1500	39:50:21	-02:26:07	430	288
K	91249	1530	39:52:09	-02:21:15	417	234
K	91249	1600	40:18:05	-02:38:50	382	246
K	91249	1630	40:23:47	-02:57:20	313	297
K	91249	1700	40:25:40	-03:02:24	288	211
K	91249	1730	40:25:34	-02:49:07	299	188
K	91249	1800	40:25:44	-03:12:22	267	162
K	91249	1830	40:16:38	-03:33:25	237	162
K	91249	1900	40:18:54	-04:18:21	244	145
K	91249	1930	40:09:52	-04:37:36		
I	91249	0800	38:16:23	+01:42:27		
I	91249	0830	38:25:12	+01:25:02	87	79
I	91249	0900	38:25:08	+01:04:10	100	100
I	91249	0930	38:18:00	+00:51:14	158	97
I	91249	1000	38:50:06	+00:41:59	175	119
I	91249	1030	38:10:14	+00:35:10	193	122
I	91249	1100	38:07:21	+00:31:56	218	120
I	91249	1130	38:12:58	+00:01:36	227	125

Seguimiento de Sistemas Convectivos Mesoscala

Trayectorias y Tamanos de los MCS's

MCS	DAY	TIME	LAT	LON	EJEX	EJEN
J	91249	1700	39:01:41	-03:25:52	137	104
J	91249	1730	38:58:07	-03:30:32	170	103
J	91249	1800	38:40:17	-03:42:28	212	171
J	91249	1830	38:38:37	-03:56:54	220	186
J	91249	1900	38:26:15	-04:07:01	218	206
J	91249	1930	38:24:43	-04:33:04	218	196
J	91249	2000	38:31:53	-04:38:26	242	216
J	91249	2030	38:37:25	-04:53:24	232	198
J	91249	2100	38:51:52	-05:04:16	260	201
J	91249	2130	38:48:29	-05:20:14	269	182
J	91249	2200	38:48:38	-05:33:14	286	160
J	91249	2230	38:34:28	-05:44:56	275	167
J	91249	2300	38:22:20	-06:08:05	273	163

L	91254	1400	37:43:01	+02:11:45		
L	91254	1430	37:39:31	+02:11:38		
L	91254	1500	37:34:16	+02:09:52		
L	91254	1530	37:42:57	+01:55:52		
L	91254	1600	37:55:15	+01:54:38	161	56
L	91254	1630	38:09:21	+01:53:27	335	93
L	91254	1700	38:09:43	+01:44:12	315	118
L	91254	1730	38:41:18	+01:35:04	252	159
L	91254	1800	38:46:36	+01:17:26	264	200
L	91254	1830	39:10:01	+01:17:56	339	201
L	91254	1900	39:11:49	+01:13:05	361	217
L	91254	1930	39:24:26	+00:37:29	346	221
L	91254	2000	39:42:38	+00:21:17	340	189
L	91254	2030	40:17:38	+00:38:02	296	227
L	91254	2100	40:30:36	+00:08:18	403	271
L	91254	2130	40:51:09	+00:05:00	368	273
L	91254	2200	40:06:12	+00:13:25	378	279
L	91254	2230	40:25:02	+00:39:46	388	293
L	91254	2300	40:49:22	+01:10:04	380	289

Seguimiento de Sistemas Convectivos Mesoscala

Trayectorias y Tamanos de los MCS's

MCS	DAY	TIME	LAT	LON	EJEX	EJEN
M	91254	0930	41:44:03	+04:50:16		
M	91254	1000	42:03:08	+04:38:11		
M	91254	1030	42:10:43	+04:25:06		
M	91254	1100	42:18:20	+04:11:56	90	57
M	91254	1130	42:18:01	+03:58:36	130	73
M	91254	1200	42:20:03	+03:49:44	142	94
M	91254	1230	42:43:11	+03:16:44	132	118
M	91254	1300	42:43:03	+02:59:27	156	133
M	91254	1330	42:45:05	+03:06:29	286	242
M	91254	1400	42:52:46	+02:44:24	255	253
M	91254	1430	42:44:47	+02:25:00	293	261
M	91254	1500	42:54:30	+02:04:38	357	303
M	91254	1530	43:22:06	+01:30:46	355	290
M	91254	1600	42:50:19	+01:02:13	376	315
M	91254	1630	42:17:05	+01:01:36	389	285
M	91254	1700	42:20:56	+00:42:50	434	292
M	91254	1730	42:11:12	+00:17:05	447	306
M	91254	1800	42:03:28	+00:23:52	336	322
M	91254	1830	42:22:51	+00:05:09	445	336
M	91254	1900	42:50:17	-00:48:24	481	437
M	91254	1930	43:18:05	-01:21:56	498	432
M	91254	2000	43:36:06	-01:34:40	477	383
M	91254	2030	44:00:23	-01:54:49	436	373
M	91254	2100	43:52:22	-02:06:52	491	353
M	91254	2130	44:05:01	-03:20:00	442	364
M	91254	2200	44:21:21	-03:22:49	428	367
M	91254	2230	44:35:37	-03:11:13	444	327
M	91254	2300	44:52:05	-03:08:38	448	255

Trayectorias y Tamanos de los MCS's

MCS	DAY	TIME	LAT	LON	EJEX	EJEN
N	91254	1200	40:58:45	+01:06:55		
N	91254	1230	41:00:37	+01:00:15		
N	91254	1300	40:58:42	+00:50:11		
N	91254	1330	41:04:20	+00:41:53		
N	91254	1400	41:09:59	+00:33:34	163	78
N	91254	1430	41:02:26	+00:05:01	191	167
N	91254	1500	41:09:59	-00:03:21	216	128
N	91254	1530	41:06:12	-00:06:42	299	135
N	91254	1600	41:02:26	+00:08:22	355	119
N	91254	1630	41:00:33	+00:01:40	371	128
N	91254	1700	40:53:02	-00:16:41	218	132
N	91254	1730	40:56:47	-00:13:22	175	173
N	91254	1800	40:47:26	-00:43:21	155	150
N	91254	1830	41:23:20	-01:09:04	161	123
N	91254	1900	41:27:13	-01:31:05	150	102
N	91254	1930	41:40:40	-01:51:46	165	100
N	91254	2000	41:44:33	-02:05:27	100	80
N	91254	2030	41:56:12	-02:28:01	111	108
N	91254	2100	42:09:50	-02:47:25	124	103
N	91254	2130	42:29:32	-03:21:06	167	96
N	91254	2200	42:23:45	-03:29:21	128	99
N	91254	2230	42:15:53	-03:16:51	113	68
N	91254	2300	42:23:44	-03:27:38	100	40

O	91254	1400	42:36:47	-01:58:48		
O	91254	1430	42:42:45	-02:14:33	53	33
O	91254	1500	43:00:33	-02:27:25	72	62
O	91254	1530	42:54:44	-02:42:45	79	55
O	91254	1600	43:00:48	-03:02:10	103	57
O	91254	1630	42:50:53	-02:54:41	142	31
O	91254	1700	42:37:01	-02:36:43	196	86
O	91254	1730	42:35:07	-02:45:17	181	115
O	91254	1800	42:39:02	-02:47:09	328	90
O	91254	1830	42:40:57	-02:38:38	271	107
O	91254	1900	42:48:52	-02:45:56	302	128
O	91254	1930	42:48:53	-02:51:07	314	149
O	91254	2000	42:52:54	-03:01:44	313	162
O	91254	2030	43:13:11	-03:58:41	304	173
O	91254	2100	43:25:18	-04:15:21	295	178
O	91254	2130	43:25:32	-04:34:51	255	152
O	91254	2200	43:35:46	-04:54:55	158	104
O	91254	2230	43:38:02	-05:14:31	144	74
O	91254	2300	43:56:39	-05:48:19	137	71

MCS	DAY	TIME	LAT	LON	EJEX	EJEN
P	91254	1400	34:44:05	+00:21:16		
P	91254	1430	34:47:24	+00:15:12	74	52
P	91254	1500	34:54:01	+00:04:34	161	72
P	91254	1530	35:13:59	-00:13:46	232	94
P	91254	1600	35:10:40	-00:27:31	248	116
P	91254	1630	35:00:39	-00:12:12	283	144
P	91254	1700	35:04:01	-00:45:48	293	168
P	91254	1730	34:54:05	-01:02:27	320	206
P	91254	1800	34:26:03	-01:18:42	335	245
P	91254	1830	34:29:23	-01:36:57	316	273
P	91254	1900	34:39:20	-01:47:48	326	294
P	91254	1930	34:42:43	-02:07:39	323	292
P	91254	2000	36:11:31	-02:04:08	316	310
P	91254	2030	36:25:14	-02:20:08	316	265
P	91254	2100	36:32:16	-02:54:43	342	260
P	91254	2130	36:22:06	-03:06:45	348	230
P	91254	2200	36:29:06	-03:32:03	356	156
P	91254	2230	36:39:36	-03:57:40	352	160
P	91254	2300	36:41:24	-04:07:11	308	166
<hr/>						
Q	91263	1200	40:56:56	+01:26:57		
Q	91263	1300	41:11:58	+01:12:12		
Q	91263	1430	41:04:23	+01:00:19	197	127
Q	91263	1500	41:06:16	+01:02:01	239	156
Q	91263	1530	41:02:32	+01:17:02	287	163
Q	91263	1600	40:53:13	+01:38:33	294	116
Q	91263	1630	40:56:57	+01:31:58	278	134
Q	91263	1700	41:08:14	+01:28:54	264	134
Q	91263	1730	40:53:22	+02:08:38	411	134
Q	91263	1800	41:04:42	+02:19:07	435	231
Q	91263	1830	41:08:28	+02:15:54	429	239
Q	91263	1900	41:14:06	+02:09:24	420	239
Q	91263	1930	41:00:49	+01:57:11	441	247
Q	91263	2000	41:12:05	+01:45:48	385	252
Q	91263	2030	41:25:17	+01:22:36	349	335
Q	91263	2100	41:11:59	+01:13:53	318	267
Q	91263	2130	41:13:51	+01:05:31	269	251
Q	91263	2200	41:29:00	+00:45:33	259	216
Q	91263	2230	41:46:10	+00:39:00	222	192
Q	91263	2300	41:01:33	+00:23:51	198	167
Q	91264	0130	42:44:21	-00:25:53	122	105
Q	91264	0200	42:50:15	-00:34:34	118	84
Q	91264	0230	42:56:10	-00:34:38	127	73
Q	91264	0300	43:02:06	-00:41:38		

Trayectorias y Tamanos de los MCS's

MCS	DAY	TIME	LAT	LON	EJEX	EJEN
R	91263	1300	39:17:40	+02:44:22		
R	91263	1430	39:21:12	+02:31:29		
R	91263	1500	39:21:13	+02:33:07	134	71
R	91263	1530	39:19:31	+02:52:36	161	111
R	91263	1600	39:19:26	+02:41:11	182	128
R	91263	1630	39:28:30	+02:36:41	201	192
R	91263	1700	39:11:57	+01:53:43	234	211
R	91263	1730	39:11:08	+01:39:17	201	145
R	91263	1800	39:28:08	+01:18:18	203	171
R	91263	1830	39:40:50	+00:49:06	196	148
R	91263	1900	39:44:27	+00:29:29	225	146
R	91263	1930	39:42:38	+00:36:02	227	132
R	91263	2000	39:35:21	+00:47:24	214	105
R	91263	2030	39:35:21	+00:32:39	202	81
R	91263	2100	39:31:40	+00:21:14	61	51
R	91263	2130	39:33:29	+00:03:16	43	37
R	91263	2200	39:38:57	-00:06:33		
R	91263	2230	39:40:47	-00:22:55		

S	91263	1430	32:44:10	+05:32:14		
S	91263	1500	32:56:52	+05:24:11		
S	91263	1530	33:14:15	+04:58:26		
S	91263	1600	33:50:17	+04:45:58	106	62
S	91263	1630	33:27:09	+04:56:17	128	87
S	91263	1700	33:36:55	+05:02:56	167	116
S	91263	1730	33:40:17	+05:15:13	199	113
S	91263	1800	33:46:49	+05:17:11	214	176
S	91263	1830	33:43:23	+05:00:21	272	181
S	91263	1900	34:25:43	+04:46:29	346	219
S	91263	1930	34:52:05	+04:40:34	352	255
S	91263	2000	35:02:00	+04:36:37	367	262
S	91263	2030	35:01:52	+04:22:49	352	231
S	91263	2100	35:20:23	+04:39:21	347	237
S	91263	2130	35:28:30	+04:13:40	314	231
S	91263	2200	35:58:41	+03:56:52	301	263
S	91263	2230	36:12:14	+03:52:59	300	254
S	91263	2300	36:24:02	+03:38:02	285	292
S	91264	0130	36:18:38	+02:58:49	274	235
S	91264	0200	36:28:48	+02:49:53	268	204
S	91264	0230	36:54:32	+02:46:15	173	131
S	91264	0300	37:06:36	+02:38:53	215	129
S	91264	0330	37:23:55	+02:30:05	196	127
S	91264	0400	37:39:41	+02:41:48	200	114
S	91264	0430	37:53:46	+02:47:10	94	92
S	91264	0500	38:14:57	+02:48:05	89	65
S	91264	0530	38:23:40	+02:19:33	72	50
S	91264	0600	38:41:26	+02:05:42		

Seguimiento de Sistemas Convectivos Mesoscala

Trayectorias y Tamanos de los MCS's

MCS	DAY	TIME	LAT	LON	EJEX	EJEN
T	91264	1630	38:49:28	+04:07:18		
T	91264	1700	39:00:11	+04:01:30	54	28
T	91264	1730	39:10:55	+03:50:48	81	42
T	91264	1800	39:19:50	+03:33:24	101	51
T	91264	1830	39:25:17	+03:33:43	128	62
T	91264	1900	39:32:35	+03:37:25	231	159
T	91264	1930	40:07:18	+03:22:57	235	175
T	91264	2000	40:25:43	+03:10:42	259	193
T	91264	2030	40:29:22	+02:59:16	271	207
T	91264	2100	40:27:24	+02:44:13	284	210
T	91264	2130	40:25:28	+02:32:31	315	232
T	91264	2200	40:36:44	+02:21:20	329	255
T	91264	2230	41:00:46	+01:48:48	286	257
T	91264	2300	40:53:17	+01:51:55	289	282
T	91265	0130	40:27:22	+02:39:14	360	141
T	91265	0200	40:14:23	+02:38:40	305	143
T	91265	0230	40:25:26	+02:25:53	325	170
T	91265	0300	40:12:25	+02:20:23	245	171
T	91265	0330	40:19:42	+01:55:50	246	174
T	91265	0400	40:25:12	+01:41:05	200	168
T	91265	0430	40:34:30	+01:38:02	166	166
T	91265	0500	40:45:44	+01:43:20	132	106
T	91265	0530	40:45:36	+01:03:20	105	45
T	91265	0600	40:45:34	+00:55:00		

Seguimiento de Sistemas Convectivos Mesoscala

Trayectorias y Tamanos de los MCS's

MCS	DAY	TIME	LAT	LON	EJEX	EJEN
U	91268	0700	40:53:07	-01:05:08		
U	91268	0730	41:00:38	-01:06:57	84	78
U	91268	0800	41:06:17	-01:07:03	137	75
U	91268	0830	41:25:15	-01:10:47	159	96
U	91268	0900	41:46:14	-01:07:50	151	143
U	91268	0930	41:48:12	-01:19:45	166	162
U	91268	1000	41:11:57	-01:08:50	349	150
U	91268	1030	41:10:06	-01:20:33	386	180
U	91268	1100	41:15:47	-01:25:44	401	179
U	91268	1200	41:52:16	-02:12:32	469	264
U	91268	1230	41:44:35	-02:13:56	496	294
U	91268	1330	42:11:44	-02:42:23	425	373
U	91268	1400	42:23:31	-03:00:07	456	429
U	91268	1500	42:49:13	-03:32:41	527	455
U	91268	1530	42:49:13	-03:32:41	464	420
U	91268	1600	42:59:14	-03:48:59	451	394
U	91268	1630	43:09:18	-04:07:08	422	380
U	91268	1700	43:19:17	-04:09:39	392	363
U	91268	1730	43:27:28	-04:27:50	401	399
U	91268	1800	43:35:40	-04:46:06	495	410
U	91268	1830	43:31:43	-04:51:02	526	343
U	91268	1900	43:37:38	-04:42:45	514	343
U	91268	1930	44:04:02	-04:57:32	380	324
U	91268	2000	44:04:18	-05:17:07	362	303
U	91268	2030	44:14:25	-05:12:47	375	318
U	91268	2100	45:03:50	-05:12:22	430	303
U	91268	2130	45:35:17	-05:10:07	457	252
U	91268	2200	45:58:49	-05:23:39	315	250
U	91268	2230	46:24:39	-05:28:21	354	213
U	91268	2300	46:48:32	-05:27:18	292	148

MCS	DAY	TIME	LAT	LON	EJEX	EJEN
V	91268	1500	40:27:17	-02:27:37	61	49
V	91268	1530	40:34:47	-02:32:55	110	84
V	91268	1600	40:55:23	-02:33:49	149	96
V	91268	1630	41:20:03	-02:51:45	168	105
V	91268	1700	41:35:22	-03:04:22	180	101
V	91268	1730	41:54:58	-03:09:59	141	94
V	91268	1800	42:04:15	-03:16:11	185	98
V	91268	1830	42:00:36	-03:39:52	205	156
V	91268	1900	42:08:18	-03:36:57	209	136
V	91268	1930	42:08:20	-03:40:22	171	160
V	91268	2000	42:00:37	-03:48:33	249	215
V	91268	2030	42:18:05	-03:46:10	282	147
V	91268	2100	42:24:09	-04:10:39	349	161
V	91268	2130	42:14:29	-04:15:05	275	193
V	91268	2200	42:24:11	-04:14:06	293	241
V	91268	2230	42:12:30	-04:11:30	337	248
V	91268	2300	42:12:35	-04:18:22	248	226

W	91268	1530	41:30:47	-04:59:19		
W	91268	1600	41:48:02	-05:02:32	52	31
W	91268	1630	41:53:54	-05:09:54	85	47
W	91268	1700	42:03:26	-05:02:11	129	60
W	91268	1730	42:09:14	-05:02:43	159	93
W	91268	1800	42:23:06	-05:24:39	172	106
W	91268	1830	42:38:44	-05:26:11	147	108
W	91268	1900	42:36:54	-05:34:40	158	115
W	91268	1930	42:37:20	-06:04:12	185	139
W	91268	2000	42:45:11	-06:05:03	173	139
W	91268	2030	43:03:04	-06:14:03	206	155
W	91268	2100	43:26:45	-06:04:26	204	179
W	91268	2130	43:27:13	-06:34:27	235	178
W	91268	2200	43:29:25	-06:45:20	256	196
W	91268	2230	43:57:00	-06:11:28	266	205
W	91268	2300	43:57:22	-06:32:52	197	199

Seguimiento de Sistemas Convectivos Mesoscala

Trayectorias y Tamanos de los MCS's

MCS	DAY	TIME	LAT	LON	EJEX	EJEN
A	91299	1330	41:24:08	-03:27:25		
A	91299	1400	41:41:14	-03:21:39	63	31
A	91299	1430	41:47:01	-03:27:05	75	48
A	91299	1500	41:54:37	-03:15:38	76	69
A	91299	1530	42:02:23	-03:19:30	104	92
A	91299	1600	42:06:17	-03:26:34	131	92
A	91299	1630	42:17:50	-03:18:41	217	126
A	91299	1700	42:11:52	-03:01:13	244	166
A	91299	1730	42:09:58	-03:04:32	267	214
A	91299	1800	42:19:44	-03:10:14	370	209
A	91299	1830	42:35:17	-03:05:56	384	236
A	91299	1900	42:19:55	-03:34:16	430	263
A	91299	1930	42:24:01	-03:56:53	382	253
A	91299	2000	42:33:48	-04:01:02	390	269
A	91299	2030	42:53:30	-04:07:41	398	260
A	91299	2100	42:49:39	-04:16:03	379	234
A	91299	2130	42:43:48	-04:20:48	375	205
A	91299	2200	42:47:52	-04:33:15	336	173
A	91299	2230	42:51:51	-04:37:04	376	164

ANEXO II

**VALORES ESTADÍSTICOS DE TEMPERATURA
DE LAS CIMAS NUBOSAS**



A continuación se presenta un listado con los parámetros estadísticos básicos, obtenidos a partir del SAIDAS, para cada SCM estudiado en la Campaña Previmet Mediterráneo-91.

En el listado figuran, de izquierda a derecha los siguientes datos:

- SCM Nombre del sistema a que corresponden las medidas
- Día Fecha (juliana) en la que tuvo lugar el SCM
- Hora Hora a la que se realizó la medida que figura a continuación
- T.M. Temperatura media del SCM, medida en °C
- SDB Desviación típica de las temperaturas del SCM, medida en °C
- MED Mediana de las temperaturas del SCM, medida en °C
- MOD Moda de las temperaturas del SCM, medida en °C
- T.MIN Temperatura mínima de las cimas del SCM, medida en °C

Seguimiento de Sistemas Convectivos Mesoscala

Valores Estadísticos de Temp. Topes Nubosos (°C)

MCS	DIA	HORA	T.M.	SDB	MED	MOD	T.MIN
B	91232	1230	-38	4.8	-36	-36	-45
B	91232	1300	-45	5.4	-46	-49	-51
B	91232	1330	-47	5.7	-50	-51	-53
B	91232	1400	-48	5.9	-50	-53	-56
B	91232	1430	-50	6.3	-52	-53	-59
B	91232	1500	-51	6.3	-53	-53	-61
B	91232	1530	-51	6.3	-54	-56	-61
B	91232	1600	-51	6.7	-54	-56	-61
B	91232	1630	-51	6.9	-53	-56	-61
B	91232	1700	-50	7.3	-53	-56	-59
B	91232	1730	-49	7.6	-52	-56	-62
B	91232	1800	-48	8.0	-50	-56	-61
B	91232	1830	-48	7.8	-49	-56	-61
B	91232	1900	-47	8.2	-48	-56	-59
B	91232	1930	-47	8.2	-49	-56	-61
B	91232	2000	-48	8.6	-50	-54	-62
B	91232	2030	-50	8.6	-52	-58	-61
B	91232	2100	-49	8.3	-52	-58	-62
B	91232	2130	-48	8.1	-51	-56	-59
B	91232	2200	-47	6.9	-49	-51	-59
B	91232	2230	-44	6.2	-46	-47	-57
B	91232	2300	-42	5.6	-42	-43	-54
B	91232	2330	-40	4.8	-40	-34	-51
B	91232	2400	-37	3.2	-37	-34	-46

Seguimiento de Sistemas Convectivos Mesoscala

Valores Estadísticos de Temp. Topes Nubosos (°C)

MCS	DIA	HORA	T.M.	SDB	MED	MOD	T.MIN
C	91244	0100	-51	8.2	-53	-58	-66
C	91244	0130	-50	8.8	-52	-58	-65
C	91244	0200	-50	8.9	-53	-58	-65
C	91244	0230	-51	8.8	-53	-58	-65
C	91244	0300	-50	8.2	-52	-58	-65
C	91244	0330	-50	8.2	-52	-58	-62
C	91244	0400	-49	8.3	-52	-58	-63
C	91244	0430	-49	7.8	-51	-58	-62
C	91244	0500	-48	7.8	-49	-49	-63
C	91244	0530	-47	8.1	-47	-58	-63
C	91244	0600	-48	8.3	-50	-58	-62
C	91244	0630	-49	8.4	-51	-58	-63
C	91244	0700	-49	7.6	-52	-56	-65
C	91244	0730	-49	7.7	-52	-56	-65
C	91244	0800	-49	8.0	-52	-55	-63
C	91244	0830	-49	8.3	-54	-55	-62
C	91244	0900	-49	7.6	-53	-53	-61
C	91244	0930	-49	6.9	-52	-53	-59
C	91244	1000	-47	6.6	-49	-49	-59
C	91244	1030	-45	6.0	-46	-47	-61
C	91244	1100	-43	6.1	-43	-39	-61
C	91244	1130	-47	7.9	-48	-55	-59
C	91244	1200	-47	7.7	-50	-51	-59
C	91244	1230	-46	6.6	-48	-51	-58
C	91244	1300	-44	6.1	-46	-49	-55
C	91244	1400	-40	4.9	-41	-43	-51
C	91244	1430	-39	4.1	-39	-33	-49
C	91244	1500	-36	3.4	-36	-33	-46
C	91244	1530	-36	3.5	-36	-32	-45
C	91244	1600	-35	2.3	-34	-33	-40

Seguimiento de Sistemas Convectivos Mesoscala

Valores Estadísticos de Temp. Topes Nubosos (°C)

MCS	DIA	HORA	T.M.	SDB	MED	MOD	T.MIN
D	91245	1200	-44	5.3	-46	-49	-50
D	91245	1230	-43	6.8	-44	-53	-53
D	91245	1300	-46	6.0	-48	-53	-56
D	91245	1330	-49	5.6	-51	-53	-57
D	91245	1400	-51	5.9	-53	-56	-59
D	91245	1430	-51	6.4	-53	-56	-59
D	91245	1500	-49	7.1	-52	-56	-58
D	91245	1530	-48	7.6	-51	-56	-58
D	91245	1600	-49	7.0	-51	-56	-59
D	91245	1630	-48	7.5	-51	-56	-61
D	91245	1700	-49	7.6	-51	-56	-58
D	91245	1730	-49	7.5	-51	-56	-58
D	91245	1800	-48	7.5	-51	-56	-57
D	91245	1830	-48	7.3	-49	-56	-58
D	91245	1900	-46	7.6	-48	-53	-57
D	91245	1930	-45	6.3	-47	-49	-56
D	91245	2000	-42	5.2	-42	-43	-54
D	91245	2030	-40	5.1	-42	-33	-48
D	91245	2100	-39	4.4	-40	-35	-48
D	91245	2130	-38	3.6	-39	-33	-44
E	91245	1500	-46	5.9	-48	-51	-53
E	91245	1530	-48	5.7	-51	-52	-53
E	91245	1600	-47	6.3	-48	-53	-57
E	91245	1630	-48	6.1	-51	-53	-56
E	91245	1700	-45	6.7	-46	-53	-56
E	91245	1730	-45	6.7	-48	-51	-56
E	91245	1800	-45	6.4	-48	-51	-57
E	91245	1830	-46	6.7	-47	-53	-61
E	91245	1900	-47	7.5	-49	-55	-58
E	91245	1930	-48	7.8	-51	-56	-59
E	91245	2000	-49	7.4	-52	-56	-61
E	91245	2030	-50	7.0	-53	-56	-62
E	91245	2100	-51	6.6	-53	-53	-61
E	91245	2130	-50	6.8	-52	-56	-59
E	91245	2200	-49	6.8	-51	-53	-61
E	91245	2230	-48	6.8	-50	-49	-61
E	91245	2300	-46	7.2	-48	-47	-61
E	91246	0130	-50	8.1	-52	-58	-62
E	91246	0200	-47	7.3	-49	-51	-58
E	91246	0230	-43	6.3	-44	-43	-56
E	91246	0300	-42	5.6	-42	-50	-51
E	91246	0330	-37	3.3	-37	-33	-44

Seguimiento de Sistemas Convectivos Mesoscala

Valores Estadísticos de Temp. Topes Nubosos (°C)

MCS	DIA	HORA	T.M.	SDB	MED	MOD	T.MIN
G	91247	1530	-46	6.1	-48	-51	-56
G	91247	1600	-48	6.3	-50	-51	-56
G	91247	1630	-48	5.6	-50	-53	-57
G	91247	1700	-48	6.6	-50	-55	-57
G	91247	1730	-48	7.6	-51	-56	-58
G	91247	1800	-48	7.2	-51	-56	-58
G	91247	1830	-49	6.8	-50	-56	-62
G	91247	1900	-50	8.0	-53	-56	-62
G	91247	1930	-52	6.9	-54	-56	-64
G	91247	2000	-51	6.4	-53	-56	-62
G	91247	2030	-52	6.8	-54	-56	-62
G	91247	2100	-51	7.5	-54	-56	-62
G	91247	2130	-51	7.1	-54	-56	-61
G	91247	2200	-50	6.6	-52	-53	-59
G	91247	2230	-47	6.5	-50	-51	-58
G	91247	2300	-47	5.8	-48	-49	-58
G	91248	0130	-43	7.6	-41	-34	-58
G	91248	0200	-44	6.6	-45	-49	-56
G	91248	0230	-42	5.7	-43	-43	-53
G	91248	0300	-39	5.2	-39	-34	-49
G	91248	0330	-39	3.9	-39	-34	-46
G	91248	0400	-36	2.5	-35	-34	-40
H	91248	0200	-44	7.3	-48	-50	-52
H	91248	0230	-47	7.6	-51	-56	-58
H	91248	0300	-50	8.2	-52	-56	-62
H	91248	0330	-52	7.8	-54	-58	-65
H	91248	0400	-53	7.2	-57	-58	-62
H	91248	0430	-52	7.5	-54	-58	-65
H	91248	0500	-51	7.3	-53	-58	-62
H	91248	0600	-49	7.3	-50	-58	-63
H	91248	0630	-48	7.3	-51	-51	-62
H	91248	0700	-47	6.9	-48	-53	-61
H	91248	0730	-45	6.9	-46	-49	-57
H	91248	0800	-43	6.4	-43	-36	-56
H	91248	0830	-41	6.1	-42	-47	-53
H	91248	0900	-41	5.7	-42	-36	-56
H	91248	0930	-40	5.9	-39	-36	-56
H	91248	1000	-40	5.3	-39	-39	-51

Valores Estadísticos de Temp. Topes Nubosos (°C)

MCS	DIA	HORA	T.M.	SDB	MED	MOD	T.MIN
F	91249	0300	-49	4.8	-50	-53	-57
F	91249	0330	-51	4.8	-52	-52	-59
F	91249	0400	-49	6.1	-52	-53	-59
F	91249	0430	-49	7.0	-52	-53	-61
F	91249	0500	-50	6.6	-52	-53	-59
F	91249	0530	-48	6.8	-51	-53	-58
F	91249	0600	-48	6.2	-51	-53	-57
F	91249	0630	-48	6.0	-50	-53	-58
F	91249	0700	-46	6.1	-47	-53	-58
F	91249	0800	-43	6.9	-43	-36	-58
F	91249	0830	-46	7.1	-48	-53	-58
F	91249	0900	-48	6.7	-50	-53	-60
K	91249	0900	-48	6.7	-50	-53	-60
K	91249	0930	-48	6.1	-50	-51	-60
K	91249	1000	-48	6.3	-50	-51	-60
K	91249	1030	-47	6.7	-48	-47	-64
K	91249	1100	-48	8.1	-48	-56	-64
K	91249	1130	-50	8.5	-53	-58	-61
K	91249	1200	-50	8.0	-54	-56	-65
K	91249	1230	-51	7.0	-54	-56	-62
K	91249	1300	-51	6.7	-53	-53	-62
K	91249	1330	-50	6.8	-52	-56	-62
K	91249	1400	-50	6.9	-52	-56	-62
K	91249	1430	-50	7.0	-52	-53	-64
K	91249	1530	-46	8.2	-47	-56	-64
K	91249	1630	-49	8.3	-51	-56	-64
K	91249	1700	-50	7.5	-53	-56	-61
K	91249	1730	-49	7.6	-52	-56	-61
K	91249	1800	-48	6.4	-50	-53	-58
K	91249	1830	-46	5.8	-48	-49	-60
K	91249	1900	-43	6.2	-43	-39	-58
I	91249	0800	-42	5.9	-42	-41	-55
I	91249	0830	-45	6.9	-46	-53	-57
I	91249	0900	-48	7.0	-52	-53	-58
I	91249	0930	-49	6.3	-52	-53	-61
I	91249	1000	-49	5.7	-52	-53	-58
I	91249	1030	-50	5.6	-52	-53	-58
I	91249	1100	-49	5.5	-52	-53	-58
I	91249	1130	-49	6.2	-53	-53	-58

MCS	DIA	HORA	T.M.	SDB	MED	MOD	T.MIN
J	91249	1700	-50	6.6	-53	-53	-58
J	91249	1730	-51	6.5	-53	-55	-60
J	91249	1800	-51	6.3	-53	-56	-61
J	91249	1830	-51	6.7	-53	-55	-61
J	91249	1900	-50	6.6	-53	-53	-64
J	91249	1930	-51	6.2	-53	-55	-60
J	91249	2000	-50	6.4	-53	-56	-59
J	91249	2030	-49	6.8	-52	-56	-61
J	91249	2100	-49	5.9	-51	-53	-59
J	91249	2130	-48	6.2	-48	-45	-59
J	91249	2200	-46	7.5	-47	-53	-61
J	91249	2230	-47	8.0	-49	-56	-61
J	91249	2300	-48	8.3	-50	-56	-61
<hr/>							
L	91254	1400	-35	2.9	-35	-39	-39
L	91254	1430	-40	5.8	-39	-36	-49
L	91254	1500	-45	6.4	-49	-51	-55
L	91254	1530	-47	5.3	-49	-51	-55
L	91254	1600	-44	5.6	-46	-49	-58
L	91254	1630	-46	6.0	-48	-50	-61
L	91254	1700	-47	6.5	-49	-51	-62
L	91254	1730	-49	6.4	-51	-53	-61
L	91254	1800	-49	6.1	-51	-53	-59
L	91254	1830	-49	6.0	-51	-53	-59
L	91254	1900	-48	6.3	-51	-53	-59
L	91254	1930	-49	6.3	-51	-51	-65
L	91254	2000	-49	6.7	-51	-54	-58
L	91254	2030	-49	7.3	-52	-53	-61
L	91254	2100	-48	7.1	-50	-49	-62
L	91254	2130	-47	7.7	-49	-56	-61
L	91254	2200	-48	6.8	-50	-51	-59
L	91254	2230	-47	6.5	-49	-49	-61
L	91254	2300	-46	6.4	-47	-47	-58

Seguimiento de Sistemas Convectivos Mesoscala

Valores Estadisticos de Temp. Topes Nubosos (°C)

MCS	DIA	HORA	T.M.	SDB	MED	MOD	T.MIN
M	91254	0930	-39	3.4	-38	-36	-44
M	91254	1000	-43	5.5	-44	-49	-53
M	91254	1030	-46	5.7	-48	-51	-55
M	91254	1100	-47	6.1	-49	-52	-56
M	91254	1130	-48	5.8	-51	-51	-56
M	91254	1200	-49	5.7	-52	-53	-56
M	91254	1230	-49	5.9	-52	-53	-59
M	91254	1300	-50	6.7	-52	-53	-59
M	91254	1330	-51	6.3	-53	-53	-61
M	91254	1400	-50	6.3	-52	-53	-61
M	91254	1430	-50	6.3	-52	-53	-61
M	91254	1500	-50	6.9	-52	-56	-61
M	91254	1530	-50	7.3	-52	-56	-64
M	91254	1600	-51	7.2	-53	-56	-64
M	91254	1630	-51	7.4	-53	-53	-64
M	91254	1700	-51	7.4	-53	-58	-64
M	91254	1730	-50	7.9	-53	-56	-64
M	91254	1800	-51	7.8	-53	-58	-66
M	91254	1830	-52	7.5	-54	-56	-65
M	91254	1900	-52	7.6	-53	-58	-64
M	91254	1930	-51	7.6	-53	-58	-65
M	91254	2000	-50	7.8	-52	-56	-66
M	91254	2030	-50	8.2	-52	-58	-65
M	91254	2100	-50	8.1	-51	-56	-65
M	91254	2130	-49	8.4	-52	-58	-65
M	91254	2200	-50	7.8	-52	-56	-63
M	91254	2230	-50	7.6	-51	-58	-62
M	91254	2300	-49	7.7	-51	-56	-62

Seguimiento de Sistemas Convectivos Mesoscala

Valores Estadísticos de Temp. Topes Nubosos (°C)

MCS	DIA	HORA	T.M.	SDB	MED	MOD	T.MIN
N	91254	1200	-35	2.3	-36	-36	-40
N	91254	1230	-43	5.5	-44	-47	-51
N	91254	1300	-45	5.7	-48	-49	-56
N	91254	1330	-48	5.6	-49	-53	-56
N	91254	1400	-48	5.6	-50	-51	-58
N	91254	1430	-49	6.3	-50	-49	-61
N	91254	1500	-50	6.9	-52	-56	-59
N	91254	1530	-50	7.0	-51	-56	-62
N	91254	1600	-50	7.5	-52	-56	-62
N	91254	1630	-50	8.1	-52	-56	-64
N	91254	1700	-53	6.5	-56	-56	-61
N	91254	1730	-52	6.2	-54	-56	-61
N	91254	1800	-51	6.0	-53	-56	-59
N	91254	1830	-49	7.0	-51	-56	-58
N	91254	1900	-46	6.6	-48	-49	-56
N	91254	1930	-43	5.7	-44	-49	-53
N	91254	2000	-43	5.4	-45	-47	-52
N	91254	2030	-42	5.1	-44	-46	-51
N	91254	2100	-45	5.4	-46	-50	-53
N	91254	2130	-43	5.6	-44	-49	-52
N	91254	2200	-42	5.2	-43	-47	-49
N	91254	2230	-38	3.7	-38	-34	-46
N	91254	2300	-36	2.3	-35	-34	-40
<hr/>							
O	91254	1400	-37	3.3	-36	-37	-43
O	91254	1430	-43	5.9	-44	-51	-51
O	91254	1500	-46	6.6	-49	-51	-55
O	91254	1530	-47	5.9	-49	-51	-56
O	91254	1600	-45	5.3	-47	-49	-52
O	91254	1630	-43	6.6	-44	-47	-57
O	91254	1700	-45	7.5	-44	-43	-62
O	91254	1730	-48	8.2	-50	-56	-62
O	91254	1800	-49	8.4	-51	-56	-64
O	91254	1830	-51	8.3	-54	-58	-64
O	91254	1900	-52	8.1	-55	-58	-64
O	91254	1930	-50	8.4	-53	-58	-64
O	91254	2000	-49	8.8	-51	-58	-62
O	91254	2030	-48	8.3	-51	-56	-59
O	91254	2100	-47	6.9	-49	-51	-58
O	91254	2130	-45	6.4	-47	-51	-56
O	91254	2200	-44	5.8	-46	-49	-53
O	91254	2230	-41	4.5	-42	-45	-49
O	91254	2300	-36	2.7	-36	-34	-43

MCS	DIA	HORA	T.M.	SDB	MED	MOD	T.MIN
P	91254	1400	-37	3.4	-37	-41	-41
P	91254	1430	-41	6.0	-42	-48	-52
P	91254	1500	-46	5.5	-49	-51	-53
P	91254	1530	-48	6.7	-50	-53	-61
P	91254	1600	-50	6.8	-52	-56	-61
P	91254	1630	-52	6.2	-54	-56	-61
P	91254	1700	-52	6.7	-54	-58	-64
P	91254	1730	-51	7.5	-54	-58	-64
P	91254	1800	-51	7.3	-54	-58	-61
P	91254	1830	-50	7.3	-53	-56	-64
P	91254	1900	-49	7.0	-52	-53	-62
P	91254	1930	-48	6.5	-50	-51	-59
P	91254	2000	-47	6.1	-48	-49	-61
P	91254	2030	-45	6.0	-47	-49	-59
P	91254	2100	-44	5.8	-46	-47	-58
P	91254	2130	-43	5.8	-44	-47	-61
P	91254	2200	-43	5.7	-43	-43	-59
P	91254	2230	-42	5.7	-43	-43	-58
P	91254	2300	-42	5.3	-42	-43	-57
<hr/>							
Q	91263	1200	-40	4.8	-38	-37	-47
Q	91263	1300	-46	5.9	-48	-51	-54
Q	91263	1430	-49	6.2	-51	-55	-60
Q	91263	1500	-48	6.7	-49	-54	-62
Q	91263	1530	-49	7.3	-50	-51	-62
Q	91263	1600	-52	7.1	-56	-56	-62
Q	91263	1630	-53	7.5	-56	-58	-64
Q	91263	1700	-55	6.9	-58	-60	-64
Q	91263	1730	-54	7.6	-57	-58	-64
Q	91263	1800	-54	7.9	-57	-58	-65
Q	91263	1830	-54	7.9	-57	-58	-66
Q	91263	1900	-53	8.0	-55	-61	-66
Q	91263	1930	-52	7.7	-54	-56	-66
Q	91263	2000	-50	8.3	-52	-58	-65
Q	91263	2030	-49	8.0	-50	-49	-63
Q	91263	2100	-49	7.9	-51	-58	-63
Q	91263	2130	-49	7.5	-50	-53	-63
Q	91263	2200	-48	7.6	-50	-49	-63
Q	91263	2230	-47	7.3	-48	-56	-61
Q	91263	2300	-46	7.4	-47	-49	-61
Q	91264	0130	-43	6.2	-45	-49	-52
Q	91264	0200	-40	5.1	-42	-47	-48
Q	91264	0230	-38	3.3	-38	-34	-44
Q	91264	0300	-34	1.5	-35	-34	-38

Seguimiento de Sistemas Convectivos Mesoscala

Valores Estadísticos de Temp. Topes Nubosos (°C)

MCS	DIA	HORA	T.M.	SDB	MED	MOD	T.MIN
R	91263	1300	-37	3.9	-36	-34	-45
R	91263	1430	-47	8.1	-48	-57	-60
R	91263	1500	-48	8.4	-50	-58	-61
R	91263	1530	-52	8.4	-56	-58	-64
R	91263	1600	-53	8.2	-57	-58	-64
R	91263	1630	-54	7.6	-58	-58	-62
R	91263	1700	-53	7.0	-57	-57	-62
R	91263	1730	-51	7.3	-55	-55	-61
R	91263	1800	-51	6.8	-53	-54	-61
R	91263	1830	-49	6.9	-51	-56	-58
R	91263	1900	-46	6.7	-48	-51	-57
R	91263	1930	-44	5.8	-47	-49	-54
R	91263	2000	-42	5.0	-44	-45	-52
R	91263	2030	-39	4.3	-40	-34	-50
R	91263	2100	-39	5.1	-38	-34	-49
R	91263	2130	-39	5.2	-40	-34	-50
R	91263	2200	-38	4.1	-39	-41	-46
R	91263	2230	-36	1.7	-36	-34	-39
S	91263	1430	-39	5.3	-38	-37	-49
S	91263	1500	-43	4.9	-45	-47	-50
S	91263	1530	-44	5.9	-45	-48	-58
S	91263	1600	-44	6.9	-45	-37	-58
S	91263	1630	-49	7.8	-51	-56	-62
S	91263	1700	-51	9.1	-55	-58	-66
S	91263	1730	-54	7.6	-57	-58	-65
S	91263	1800	-55	7.2	-58	-58	-64
S	91263	1830	-54	7.9	-58	-58	-65
S	91263	1900	-53	7.9	-57	-58	-64
S	91263	1930	-52	7.7	-56	-58	-62
S	91263	2000	-50	7.7	-53	-56	-66
S	91263	2030	-50	7.9	-52	-53	-65
S	91263	2100	-50	7.7	-51	-51	-66
S	91263	2130	-50	7.8	-51	-58	-65
S	91263	2200	-51	7.5	-53	-58	-61
S	91263	2230	-50	6.8	-52	-56	-61
S	91263	2300	-47	6.4	-49	-51	-61
S	91264	0130	-43	5.5	-44	-43	-54
S	91264	0200	-42	5.5	-43	-43	-56
S	91264	0230	-43	5.2	-44	-47	-52
S	91264	0300	-42	4.6	-43	-43	-50
S	91264	0330	-41	3.9	-42	-43	-49
S	91264	0400	-39	3.5	-40	-41	-47
S	91264	0430	-37	2.5	-37	-37	-42
S	91264	0500	-36	2.1	-36	-34	-40
S	91264	0530	-34	1.0	-35	-34	-36
S	91264	0600	-34	1.0	-34	-34	-35

Seguimiento de Sistemas Convectivos Mesoscala

Valores Estadísticos de Temp. Topes Nubosos (°C)

MCS	DIA	HORA	T.M.	SDB	MED	MOD	T.MIN
T	91264	1630	-37	2.9	-37	-37	-42
T	91264	1700	-43	5.7	-45	-47	-52
T	91264	1730	-48	4.5	-50	-51	-52
T	91264	1800	-49	5.1	-51	-51	-56
T	91264	1830	-49	6.3	-51	-54	-57
T	91264	1900	-48	6.6	-50	-55	-58
T	91264	1930	-50	6.8	-52	-56	-64
T	91264	2000	-51	6.6	-52	-56	-63
T	91264	2030	-51	7.1	-53	-56	-63
T	91264	2100	-51	7.1	-53	-58	-62
T	91264	2130	-50	7.3	-53	-56	-63
T	91264	2200	-49	7.8	-51	-51	-63
T	91264	2230	-49	7.9	-50	-58	-63
T	91264	2300	-48	7.5	-49	-56	-61
T	91265	0130	-44	8.0	-44	-34	-61
T	91265	0200	-44	8.5	-44	-34	-61
T	91265	0230	-45	7.8	-46	-53	-59
T	91265	0300	-46	7.3	-48	-53	-58
T	91265	0330	-45	6.3	-47	-50	-56
T	91265	0400	-44	5.3	-45	-47	-56
T	91265	0430	-41	5.2	-41	-43	-51
T	91265	0500	-39	4.7	-38	-34	-48
T	91265	0530	-36	3.3	-36	-34	-45
T	91265	0600	-35	2.3	-35	-32	-39

Seguimiento de Sistemas Convectivos Mesoscala

Valores Estadisticos de Temp. Topes Nubosos (°C)

MCS	DIA	HORA	T.M.	SDB	MED	MOD	T.MIN
U	91268	0700	-47	8.4	-47	-55	-59
U	91268	0730	-50	8.2	-53	-55	-62
U	91268	0800	-51	7.4	-53	-53	-65
U	91268	0830	-52	8.4	-54	-61	-63
U	91268	0900	-53	8.6	-57	-61	-63
U	91268	0930	-54	7.8	-57	-58	-63
U	91268	1000	-51	8.7	-54	-61	-65
U	91268	1030	-51	9.1	-54	-58	-66
U	91268	1100	-52	9.4	-56	-61	-69
U	91268	1200	-53	10.0	-55	-61	-72
U	91268	1230	-53	9.9	-57	-61	-71
U	91268	1330	-53	9.5	-57	-63	-69
U	91268	1400	-53	9.5	-57	-61	-68
U	91268	1500	-53	8.0	-55	-61	-69
U	91268	1530	-54	8.4	-56	-61	-68
U	91268	1600	-53	8.6	-55	-61	-69
U	91268	1630	-53	8.2	-54	-61	-69
U	91268	1700	-54	7.7	-54	-56	-68
U	91268	1730	-52	8.4	-53	-63	-68
U	91268	1800	-51	8.4	-52	-61	-68
U	91268	1830	-53	7.5	-54	-59	-68
U	91268	1900	-53	7.3	-54	-56	-68
U	91268	1930	-51	7.9	-52	-53	-68
U	91268	2000	-50	7.8	-51	-41	-66
U	91268	2030	-50	7.7	-51	-58	-65
U	91268	2100	-49	7.3	-51	-53	-63
U	91268	2130	-47	6.6	-47	-49	-62
U	91268	2200	-45	5.9	-46	-46	-60
U	91268	2230	-43	5.3	-44	-41	-55
U	91268	2300	-44	4.0	-44	-41	-53

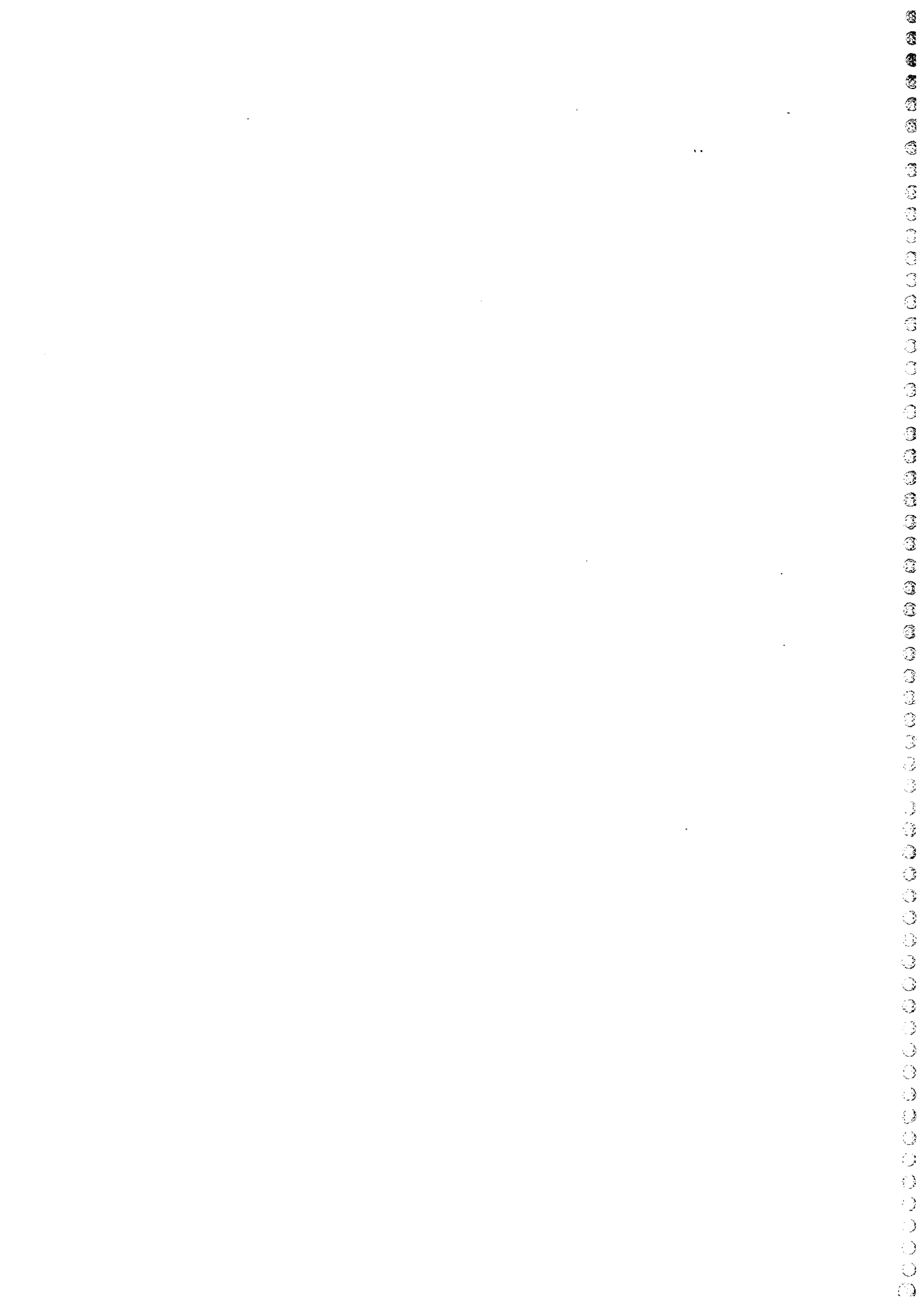
Valores Estadísticos de Temp. Topes Nubosos (°C)

MCS	DIA	HORA	T.M.	SDB	MED	MOD	T.MIN
V	91268	1500	-50	8.8	-54	-57	-61
V	91268	1530	-52	8.3	-56	-57	-62
V	91268	1600	-53	7.0	-57	-58	-61
V	91268	1630	-51	7.5	-54	-56	-61
V	91268	1700	-50	7.0	-53	-54	-61
V	91268	1730	-51	7.3	-54	-58	-62
V	91268	1800	-51	7.6	-53	-58	-61
V	91268	1830	-50	6.9	-52	-58	-63
V	91268	1900	-52	7.4	-52	-58	-62
V	91268	1930	-54	7.3	-57	-61	-63
V	91268	2000	-53	7.9	-56	-60	-63
V	91268	2030	-53	7.3	-56	-58	-62
V	91268	2100	-52	7.9	-55	-58	-65
V	91268	2130	-56	6.0	-58	-58	-63
V	91268	2200	-54	6.8	-57	-58	-65
V	91268	2230	-54	6.9	-56	-58	-66
V	91268	2300	-56	5.6	-58	-58	-65
<hr/>							
W	91268	1530	-37	3.3	-37	-37	-44
W	91268	1600	-49	8.7	-51	-59	-61
W	91268	1630	-53	8.7	-55	-61	-63
W	91268	1700	-55	8.7	-58	-63	-68
W	91268	1730	-54	9.5	-57	-63	-66
W	91268	1800	-51	9.1	-53	-62	-65
W	91268	1830	-53	8.6	-55	-61	-65
W	91268	1900	-53	8.4	-54	-61	-66
W	91268	1930	-52	8.6	-54	-61	-63
W	91268	2000	-52	8.7	-54	-60	-65
W	91268	2030	-53	8.6	-56	-60	-65
W	91268	2100	-53	8.7	-55	-63	-66
W	91268	2130	-53	8.8	-55	-62	-67
W	91268	2200	-53	9.0	-55	-63	-66
W	91268	2230	-55	8.8	-58	-60	-67
W	91268	2300	-53	8.9	-56	-60	-66

Seguimiento de Sistemas Convectivos Mesoscala

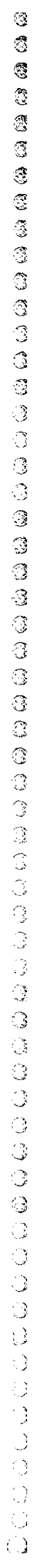
Valores Estadísticos de Temp. Topes Nubosos (°C)

MCS	DIA	HORA	T.M.	SDB	MED	MOD	T.MIN
A	91299	1330	-39	3.7	-39	-43	-44
A	91299	1400	-42	6.3	-42	-50	-51
A	91299	1430	-44	5.9	-45	-51	-52
A	91299	1500	-43	6.1	-45	-50	-52
A	91299	1530	-44	5.9	-45	-48	-56
A	91299	1600	-46	6.6	-47	-49	-58
A	91299	1630	-47	7.1	-49	-54	-60
A	91299	1700	-49	6.9	-51	-50	-61
A	91299	1730	-49	6.4	-50	-51	-60
A	91299	1800	-47	7.3	-49	-56	-60
A	91299	1830	-47	7.1	-48	-52	-61
A	91299	1900	-46	7.4	-49	-38	-60
A	91299	1930	-45	7.2	-46	-52	-58
A	91299	2000	-45	6.9	-46	-50	-58
A	91299	2030	-44	6.9	-46	-51	-57
A	91299	2100	-44	6.2	-45	-48	-57
A	91299	2130	-43	6.0	-43	-38	-56
A	91299	2200	-42	5.9	-42	-38	-54
A	91299	2230	-41	5.6	-41	-38	-54



ANEXO III

**ÁREAS CUBIERTAS POR TEMPERATURAS
INFERIORES A CIERTOS VALORES**



A continuación se presenta un listado con los resultados de la medida de las áreas, en miles de Km², bajo las diferentes isothermas seleccionadas de -32, -36, -40, -44, -48, -52, -56, -60, -64 y -68°C para cada SCM estudiado en la Campaña Previmet Mediterráneo-91.

En el listado figuran, de izquierda a derecha los siguientes datos:

- SCM Nombre del sistema a que corresponden las medidas
- Día Fecha (juliana) en la que tuvo lugar el SCM
- Hora Hora a la que se realizó la medida que figura a continuación

Seguidamente van las áreas mencionadas anteriormente, cada una bajo su isoterma correspondiente.

Seguimiento de Sistemas Convectivos Mesoscala

Area (en miles de Km2) bajo diferentes isothermas

MCS	DIA	HORA	-32°	-36°	-40°	-44°	-48°	-52°	-56°	-60°	-64°	-68°
B	91232	1230	0	0	0	0						
B	91232	1300	1	1	1	1	1					
B	91232	1330	3	2	2	2	2	0				
B	91232	1400	5	4	4	4	3	1	0			
B	91232	1430	12	11	11	10	9	6	2			
B	91232	1500	24	23	22	21	19	15	6	0		
B	91232	1530	31	29	28	26	24	19	10	0		
B	91232	1600	37	35	33	31	28	22	12	0		
B	91232	1630	41	39	36	34	30	24	13	0		
B	91232	1700	45	42	39	36	31	25	13			
B	91232	1730	48	44	40	35	31	22	12	0		
B	91232	1800	49	43	39	34	29	20	10	1		
B	91232	1830	45	40	36	31	25	17	10	0		
B	91232	1900	41	36	30	25	20	15	8			
B	91232	1930	38	32	28	23	20	13	7	0		
B	91232	2000	32	27	24	21	17	12	7	1		
B	91232	2030	27	23	22	20	17	12	10	1		
B	91232	2100	26	24	21	19	16	12	9	1		
B	91232	2130	24	21	19	17	14	10	6			
B	91232	2200	21	19	17	14	11	5	2			
B	91232	2230	18	16	14	11	6	2	1			
B	91232	2300	16	14	10	6	2	1				
B	91232	2330	13	9	6	3	1					
B	91232	2400	10	5	2	0						

Seguimiento de Sistemas Convectivos Mesoscala

Area (en miles de Km2) bajo diferentes isothermas

MCS	DIA	HORA	-32°	-36°	-40°	-44°	-48°	-52°	-56°	-60°	-64°	-68°
C	91244	0100	104	98	91	83	70	54	42	13	0	
C	91244	0130	117	107	97	86	75	59	48	14	0	
C	91244	0200	120	108	99	89	75	64	47	15	0	
C	91244	0230	120	109	100	91	80	62	48	13	0	
C	91244	0300	128	118	109	96	83	64	49	7	0	
C	91244	0330	129	117	108	97	81	64	46	5		
C	91244	0400	132	119	109	97	81	64	44	4		
C	91244	0430	135	124	114	100	84	58	36	3		
C	91244	0500	134	122	111	95	73	47	30	5		
C	91244	0530	132	117	103	84	60	42	29	3		
C	91244	0600	108	97	86	73	60	46	30	3		
C	91244	0630	95	85	76	68	59	43	31	2		
C	91244	0700	89	82	75	68	55	43	28	1	0	
C	91244	0730	88	81	75	67	56	41	26	2	0	
C	91244	0800	95	87	80	70	56	47	24	2		
C	91244	0830	100	91	81	70	64	56	23	1		
C	91244	0900	99	89	82	75	69	56	14	0		
C	91244	0930	108	99	92	85	74	48	9			
C	91244	1000	116	104	96	85	63	26	7			
C	91244	1030	125	116	103	75	41	19	4	0		
C	91244	1100	129	114	90	57	30	15	2	0		
C	91244	1130	32	28	24	20	16	11	3			
C	91244	1200	36	30	27	25	21	13	1			
C	91244	1230	44	39	35	30	23	9	0			
C	91244	1300	49	41	35	29	17	2				
C	91244	1400	44	34	25	13	2					
C	91244	1430	36	25	16	5	0					
C	91244	1500	27	13	5	1						
C	91244	1530	11	5	2	0						
C	91244	1600	8	2	0							

Seguimiento de Sistemas Convectivos Mesoscala

Area (en miles de Km2) bajo diferentes isothermas

MCS	DIA	HORA	-32°	-36°	-40°	-44°	-48°	-52°	-56°	-60°	-64°	-68°
D	91245	1200	1	1	1	1	0					
D	91245	1230	4	3	3	2	1	1				
D	91245	1300	8	7	6	5	4	2	0			
D	91245	1330	12	11	11	10	8	5	1			
D	91245	1400	16	16	15	14	12	9	3			
D	91245	1430	20	19	18	17	15	11	6			
D	91245	1500	25	24	22	19	17	13	6			
D	91245	1530	28	25	22	20	17	12	5			
D	91245	1600	30	28	26	23	20	13	7			
D	91245	1630	31	28	26	22	19	14	7	0		
D	91245	1700	30	27	25	23	19	14	8			
D	91245	1730	31	28	26	22	18	14	7			
D	91245	1800	31	27	24	22	19	13	6			
D	91245	1830	27	24	22	19	15	10	4			
D	91245	1900	24	20	17	14	12	7	2			
D	91245	1930	17	15	13	11	7	3	1			
D	91245	2000	14	12	9	5	3	0				
D	91245	2030	6	5	4	2	0					
D	91245	2100	6	4	3	1	0					
D	91245	2130	4	3	2	0						
<hr/>												
E	91245	1500	1	1	1	1	1	0				
E	91245	1530	3	2	2	2	2	1				
E	91245	1600	6	5	5	4	3	1	0			
E	91245	1630	8	8	7	6	5	3	0			
E	91245	1700	25	22	18	15	10	5	0			
E	91245	1730	27	24	20	17	13	5	0			
E	91245	1800	29	26	22	19	14	5	1			
E	91245	1830	30	27	23	19	13	7	1	0		
E	91245	1900	30	26	22	19	15	10	3			
E	91245	1930	29	25	23	21	17	13	5			
E	91245	2000	32	29	27	24	21	15	8	0		
E	91245	2030	34	32	30	29	25	18	10	0		
E	91245	2100	39	37	35	33	29	22	11	0		
E	91245	2130	49	46	43	39	34	25	12			
E	91245	2200	56	52	48	44	37	23	11	0		
E	91245	2230	62	58	53	46	36	20	10	0		
E	91245	2300	63	57	50	41	29	15	9	0		
E	91246	0130	19	18	17	15	13	10	6	1		
E	91246	0200	20	18	16	13	11	6	3			
E	91246	0230	22	19	14	11	6	2	0			
E	91246	0300	10	8	6	4	2					
E	91246	0330	7	4	2	0						

Seguimiento de Sistemas Convectivos Mesoscala

Area (en miles de Km2) bajo diferentes isotermas

MCS	DIA	HORA	-32°	-36°	-40°	-44°	-48°	-52°	-56°	-60°	-64°	-68°
G	91247	1530	4	4	3	3	2	1	0			
G	91247	1600	5	5	5	4	3	1	0			
G	91247	1630	7	6	6	5	4	2	0			
G	91247	1700	8	7	7	6	4	2	1			
G	91247	1730	9	8	7	6	5	4	2			
G	91247	1800	10	10	9	8	6	5	2			
G	91247	1830	12	11	11	9	7	5	3	0		
G	91247	1900	15	14	12	11	10	8	6	1		
G	91247	1930	29	28	27	25	22	18	11	2	0	
G	91247	2000	31	30	29	27	23	17	10	1		
G	91247	2030	36	34	33	31	28	23	15	2		
G	91247	2100	56	52	50	46	41	33	23	2		
G	91247	2130	61	57	54	50	45	36	21	1		
G	91247	2200	69	65	61	56	49	34	16			
G	91247	2230	80	73	66	59	46	24	6			
G	91247	2300	74	69	63	53	38	15	2			
G	91248	0130	19	15	10	7	5	4	2			
G	91248	0200	12	10	8	6	5	1	0			
G	91248	0230	10	8	6	4	2	0				
G	91248	0300	7	5	3	2	0					
G	91248	0330	3	2	1	0						
G	91248	0400	2	1	0							
H	91248	0200	0	0	0	0	0	0				
H	91248	0230	2	2	2	1	1	1	0			
H	91248	0300	7	7	6	6	5	4	3	0		
H	91248	0330	13	12	11	10	9	8	6	1	0	
H	91248	0400	18	17	16	16	15	12	10	1		
H	91248	0430	32	30	28	26	24	19	13	1	0	
H	91248	0500	37	35	33	30	26	19	14	1		
H	91248	0600	43	40	37	32	26	17	9	0		
H	91248	0630	41	37	34	30	25	15	7	0		
H	91248	0700	40	37	33	28	20	12	5	0		
H	91248	0730	39	34	29	23	15	8	3			
H	91248	0800	34	29	21	14	10	3	0			
H	91248	0830	21	16	12	8	4	1				
H	91248	0900	13	11	8	5	2	1	0			
H	91248	0930	10	8	5	3	1	1	0			
H	91248	1000	7	5	3	1	1					

Seguimiento de Sistemas Convectivos Mesoscala

Area (en miles de Km2) bajo diferentes isothermas

MCS	DIA	HORA	-32°	-36°	-40°	-44°	-48°	-52°	-56°	-60°	-64°	-68°
F	91249	0300	3	3	2	2	1	1	0			
F	91249	0330	14	14	14	13	12	7	2			
F	91249	0400	30	28	27	25	20	13	4			
F	91249	0430	40	37	34	31	28	20	6	0		
F	91249	0500	51	48	45	42	36	26	8			
F	91249	0530	65	59	55	50	43	29	7			
F	91249	0600	68	64	60	54	45	27	5			
F	91249	0630	72	67	63	55	42	21	4			
F	91249	0700	77	70	61	50	33	14	1			
F	91249	0800	59	49	36	27	15	7	2			
F	91249	0830	29	27	23	19	14	8	3			
F	91249	0900	28	26	23	21	17	10	3	0		
K	91249	0900	28	26	23	21	17	10	3	0		
K	91249	0930	29	28	26	23	19	9	3	0		
K	91249	1000	30	29	26	23	18	8	3	0		
K	91249	1030	30	29	26	22	15	9	4	0	0	
K	91249	1100	41	38	33	28	21	15	10	3	0	
K	91249	1130	43	40	35	30	26	22	17	4		
K	91249	1200	80	75	67	61	57	47	30	3	0	
K	91249	1230	87	84	78	73	66	54	30	4		
K	91249	1300	96	93	87	82	71	53	27	5		
K	91249	1330	104	100	93	86	75	49	27	4		
K	91249	1400	96	92	85	77	66	44	25	3		
K	91249	1430	92	87	81	75	63	41	22	3	0	
K	91249	1530	107	97	75	60	49	32	20	4	0	
K	91249	1630	68	63	55	50	43	32	21	4	0	
K	91249	1700	49	47	43	37	31	26	16	2		
K	91249	1730	46	43	37	34	30	21	11	1		
K	91249	1800	40	38	35	31	25	15	5			
K	91249	1830	34	31	28	25	17	5	1	0		
K	91249	1900	30	27	20	13	7	3	1			
I	91249	0800	3	2	2	1	1	0				
I	91249	0830	6	5	4	3	3	1	0			
I	91249	0900	9	9	8	7	6	4	1			
I	91249	0930	13	13	12	11	10	6	2	0		
I	91249	1000	17	17	16	14	12	8	1			
I	91249	1030	22	21	20	18	16	10	1			
I	91249	1100	25	24	23	21	17	12	1			
I	91249	1130	29	28	26	23	20	16	2			

Seguimiento de Sistemas Convectivos Mesoscala

Area (en miles de Km2) bajo diferentes isothermas

MCS	DIA	HORA	-32°	-36°	-40°	-44°	-48°	-52°	-56°	-60°	-64°	-68°
J	91249	1730	14	13	12	12	10	8	3	0		
J	91249	1800	23	22	21	20	18	14	7	1		
J	91249	1830	28	26	25	23	20	15	7	1		
J	91249	1900	30	28	26	25	22	16	6	1	0	
J	91249	1930	31	30	29	27	24	18	8	0		
J	91249	2000	36	34	32	30	26	19	9			
J	91249	2030	37	35	32	29	25	17	8	0		
J	91249	2100	38	37	35	32	26	14	5			
J	91249	2130	41	38	36	31	21	11	6			
J	91249	2200	43	38	32	26	19	13	6	0		
J	91249	2230	37	33	28	23	19	13	8	0		
J	91249	2300	35	29	27	24	20	14	8	0		
L	91254	1400	0	0								
L	91254	1430	1	1	1	0	0					
L	91254	1500	4	3	3	2	2	0				
L	91254	1530	5	5	4	4	3	1				
L	91254	1600	7	7	6	4	3	0	0			
L	91254	1630	20	19	16	14	10	4	1	0		
L	91254	1700	27	25	23	20	15	8	2	0		
L	91254	1730	35	33	31	27	22	15	4	0		
L	91254	1800	39	38	35	31	26	17	2			
L	91254	1830	52	50	47	43	35	21	4			
L	91254	1900	57	54	50	44	37	21	3			
L	91254	1930	47	45	41	37	31	18	5	0	0	
L	91254	2000	47	43	40	37	30	20	6			
L	91254	2030	53	49	45	40	35	25	10	0		
L	91254	2100	81	74	69	62	48	27	13	1		
L	91254	2130	82	72	63	53	42	26	14	0		
L	91254	2200	74	68	63	55	43	24	9			
L	91254	2230	77	70	63	54	42	19	5	0		
L	91254	2300	75	67	61	51	32	12	5			

Seguimiento de Sistemas Convectivos Mesoscala

Area (en miles de Km2) bajo diferentes isothermas

MCS	DIA	HORA	-32°	-36°	-40°	-44°	-48°	-52°	-56°	-60°	-64°	-68°
M	91254	0930	0	0	0	0						
M	91254	1000	1	1	1	1	0	0				
M	91254	1030	2	2	2	2	1	0				
M	91254	1100	5	4	4	4	3	1	0			
M	91254	1130	7	7	7	6	5	2	0			
M	91254	1200	10	10	9	9	7	4	0			
M	91254	1230	13	12	12	11	9	6	1			
M	91254	1300	16	15	14	13	11	8	3			
M	91254	1330	48	47	44	41	36	27	10	0		
M	91254	1400	63	62	58	53	46	31	13	0		
M	91254	1430	64	62	58	53	46	31	13	0		
M	91254	1500	81	78	72	64	55	38	19	0		
M	91254	1530	87	83	76	68	57	42	26	0	0	
M	91254	1600	85	81	75	68	60	50	28	1	0	
M	91254	1630	92	88	81	74	68	54	30	2	0	
M	91254	1700	101	96	89	83	75	54	37	2	0	
M	91254	1730	111	106	96	87	76	60	39	6	0	
M	91254	1800	112	106	98	92	83	64	41	9	2	
M	91254	1830	114	110	102	96	86	67	42	14	1	
M	91254	1900	140	135	126	116	104	79	57	12	1	
M	91254	1930	140	134	124	115	101	77	51	11	1	
M	91254	2000	140	131	123	113	95	66	45	14	1	
M	91254	2030	131	121	112	102	86	61	43	14	0	
M	91254	2100	127	119	111	99	80	60	45	13	0	
M	91254	2130	121	110	101	86	71	58	39	10	0	
M	91254	2200	126	117	108	98	83	60	39	7		
M	91254	2230	124	115	108	98	80	57	37	4		
M	91254	2300	124	113	104	92	74	52	33	1		

Seguimiento de Sistemas Convectivos Mesoscala

Area (en miles de Km2) bajo diferentes isotermas

MCS	DIA	HORA	-32°	-36°	-40°	-44°	-48°	-52°	-56°	-60°	-64°	-68°
N	91254	1200	0	0	0							
N	91254	1230	2	1	1	1	0					
N	91254	1300	3	3	3	2	1	0	0			
N	91254	1330	7	6	6	5	4	2	0			
N	91254	1400	10	9	8	7	6	2	0			
N	91254	1430	21	20	19	17	13	7	3	0		
N	91254	1500	20	19	18	17	14	10	6			
N	91254	1530	29	28	25	23	19	13	7	0		
N	91254	1600	33	30	28	26	22	16	10	1		
N	91254	1630	42	39	35	31	26	21	14	1	0	
N	91254	1700	27	26	25	24	22	18	14	0		
N	91254	1730	23	22	21	20	18	14	9	0		
N	91254	1800	21	20	19	18	15	11	6			
N	91254	1830	14	13	12	10	9	6	2			
N	91254	1900	12	10	9	8	6	3	1			
N	91254	1930	12	10	8	6	3	1				
N	91254	2000	8	6	5	4	1	0				
N	91254	2030	8	7	5	4	1					
N	91254	2100	9	8	7	6	3	0				
N	91254	2130	14	12	10	7	4	0				
N	91254	2200	10	8	7	5	1					
N	91254	2230	8	5	3	1						
N	91254	2300	3	1	0							

O	91254	1400	0	0	0							
O	91254	1430	1	1	1	1	0					
O	91254	1500	2	2	2	2	1	1				
O	91254	1530	3	3	2	2	2	1	0			
O	91254	1600	4	4	3	3	2	0				
O	91254	1630	6	5	4	3	1	1	0			
O	91254	1700	11	10	8	5	4	2	1	0		
O	91254	1730	13	12	10	8	7	5	3	0		
O	91254	1800	29	27	24	21	17	13	9	2	0	
O	91254	1830	29	27	25	22	19	16	12	2	0	
O	91254	1900	32	31	28	26	23	19	15	3	0	
O	91254	1930	40	37	34	30	25	20	16	3	0	
O	91254	2000	43	39	35	30	25	21	16	1		
O	91254	2030	40	35	31	28	23	18	11			
O	91254	2100	35	31	28	24	19	10	3			
O	91254	2130	26	23	20	16	11	4	0			
O	91254	2200	14	12	10	8	4	0				
O	91254	2230	9	7	5	3	0					
O	91254	2300	5	3	1							

Seguimiento de Sistemas Convectivos Mesoscala

Area (en miles de Km2) bajo diferentes isotermas

MCS	DIA	HORA	-32°	-36°	-40°	-44°	-48°	-52°	-56°	-60°	-64°	-68°
P	91254	1400	0	0	0							
P	91254	1430	2	1	1	1	0	0				
P	91254	1500	7	7	6	5	4	0				
P	91254	1530	16	15	14	12	9	5	2	0		
P	91254	1600	22	21	20	18	15	10	6	0		
P	91254	1630	24	24	23	22	20	16	10	0		
P	91254	1700	35	34	32	30	27	21	14	0	0	
P	91254	1730	44	42	39	36	33	25	17	1	0	
P	91254	1800	47	45	42	38	34	27	20	0		
P	91254	1830	57	55	50	46	40	32	18	1	0	
P	91254	1900	61	58	53	48	42	29	9	1		
P	91254	1930	61	58	52	48	40	19	6			
P	91254	2000	62	58	53	44	31	13	3	0		
P	91254	2030	60	55	49	38	25	9	1			
P	91254	2100	56	50	43	34	19	4	1			
P	91254	2130	55	47	40	28	12	3	1	0		
P	91254	2200	50	43	35	22	8	3	1			
P	91254	2230	46	38	30	17	6	3	1			
P	91254	2300	39	34	26	13	6	2	0			

Q	91263	1200	0	0	0	0						
Q	91263	1300	4	4	4	3	2	1				
Q	91263	1430	21	20	18	17	13	8	2	0		
Q	91263	1500	30	29	26	22	17	10	4	0		
Q	91263	1530	33	31	28	24	19	12	7	1		
Q	91263	1600	22	21	20	19	16	14	11	3		
Q	91263	1630	27	26	25	23	20	18	14	5	0	
Q	91263	1700	24	24	23	22	21	19	16	9	1	
Q	91263	1730	53	51	49	46	42	38	31	15	1	
Q	91263	1800	59	57	54	51	47	40	32	17	3	
Q	91263	1830	65	63	60	56	51	43	35	18	4	
Q	91263	1900	76	73	69	65	57	47	33	18	3	
Q	91263	1930	76	74	70	64	56	42	30	13	3	
Q	91263	2000	84	78	71	63	54	39	24	8	0	
Q	91263	2030	78	72	66	58	48	32	21	6		
Q	91263	2100	64	59	53	47	38	27	17	3		
Q	91263	2130	53	50	46	40	32	21	11	3		
Q	91263	2200	43	39	35	31	24	14	9	2		
Q	91263	2230	34	31	27	23	16	11	6	0		
Q	91263	2300	29	26	23	18	13	8	4	0		
Q	91264	0130	10	8	7	5	3	0				
Q	91264	0200	8	6	5	3	0					
Q	91264	0230	5	3	2	0						
Q	91264	0300	2	0								

Seguimiento de Sistemas Convectivos Mesoscala

Area (en miles de Km2) bajo diferentes isothermas

MCS	DIA	HORA	-32°	-36°	-40°	-44°	-48°	-52°	-56°	-60°	-64°	-68°
T	91264	1630	1	0	0							
TT	91264	1700	3	2	2	2	2	0				
TT	91264	1800	4	4	4	4	3	1	0			
TT	91264	1830	7	6	6	5	5	3	0			
TT	91264	1900	25	24	22	20	17	12	5	0	0	
TT	91264	2000	31	30	28	26	23	16	9	0		
TT	91264	2030	40	37	36	32	29	21	13	1		
TT	91264	2100	46	44	42	38	33	25	15	1		
TT	91264	2130	52	49	47	42	37	27	17	2		
TT	91264	2200	61	55	51	46	40	26	15	3		
TT	91264	2230	64	58	53	48	39	24	16	2		
TT	91264	2300	66	60	55	46	35	24	15	1		
TT	91265	0130	60	49	38	29	19	14	8	0		
TT	91265	0200	49	36	31	25	18	14	7	0		
TT	91265	0230	41	34	28	22	18	11	4			
TT	91265	0300	31	26	23	20	16	8	2			
TT	91265	0330	28	24	21	18	12	3	0			
TT	91265	0400	23	21	17	13	5	1	0			
TT	91265	0430	18	14	10	5	3					
TT	91265	0500	6	3	1	0	0					
T	91265	0600	2	0								
<hr/>												
U	91268	0700	2	2	1	1	1	1	0			
U	91268	0730	5	4	4	4	3	3	1	0		
U	91268	0800	8	8	7	7	6	4	2	1	0	
U	91268	0830	12	11	11	10	8	6	5	2		
U	91268	0900	15	14	13	12	12	10	8	2		
U	91268	0930	20	19	18	17	16	14	12	3		
U	91268	1000	36	33	31	27	24	20	16	6	0	
U	91268	1030	48	44	41	37	33	27	22	9	0	
U	91268	1100	57	52	48	44	39	34	29	14	1	0
U	91268	1200	88	80	73	68	62	52	44	27	6	1
U	91268	1230	102	93	87	81	73	61	53	35	7	1
U	91268	1330	121	113	106	95	85	74	63	39	5	0
U	91268	1400	138	128	119	108	97	84	72	41	5	0
U	91268	1500	152	145	139	131	118	96	72	37	3	0
U	91268	1530	136	129	122	116	109	89	70	40	4	0
U	91268	1600	154	145	139	130	119	93	75	42	6	0
U	91268	1630	162	154	147	140	125	94	76	39	5	0
U	91268	1700	152	147	142	136	121	92	71	34	9	0
U	91268	1730	163	156	148	135	111	87	62	33	7	0
U	91268	1800	167	158	149	135	112	78	60	33	5	0
U	91268	1830	128	125	121	115	98	75	57	25	7	0
U	91268	1900	124	122	119	110	93	70	52	22	7	0
U	91268	1930	133	128	121	108	87	63	40	20	4	0
U	91268	2000	125	122	114	93	73	54	31	19	1	
U	91268	2030	110	106	99	83	66	48	30	11	0	
U	91268	2100	104	99	91	76	59	43	18	4		
U	91268	2130	117	108	99	80	52	30	8	1		
U	91268	2200	109	100	91	69	37	16	2	0		
U	91268	2230	107	97	84	51	23	6				
U	91268	2300	44	43	38	22	7	0				

Area (en miles de Km2) bajo diferentes isotermas

MCS	DIA	HORA	-32°	-36°	-40°	-44°	-48°	-52°	-56°	-60°	-64°	-68°
V	91268	1500	2	2	2	2	2	1	1	0		
V	91268	1530	8	7	7	6	6	5	4	0		
V	91268	1600	12	11	11	10	10	8	7	1		
V	91268	1630	16	15	13	13	12	10	6	0		
V	91268	1700	15	14	13	12	11	8	4	0		
V	91268	1730	11	10	10	9	8	6	4	1		
V	91268	1800	14	13	12	11	10	8	5	1		
V	91268	1830	18	17	16	15	12	8	5	1		
V	91268	1900	20	19	18	17	15	10	9	2		
V	91268	1930	20	19	18	18	16	14	12	3		
V	91268	2000	27	25	24	22	20	18	12	4		
V	91268	2030	31	30	29	27	24	22	15	2		
V	91268	2100	39	36	34	32	29	26	16	4	0	
V	91268	2130	30	29	29	28	27	26	20	5		
V	91268	2200	45	43	42	40	38	36	23	5	0	
V	91268	2230	55	53	51	48	46	42	25	9	0	
V	91268	2300	44	43	43	42	40	38	26	8	0	
W	91268	1530	0	0	0	0						
W	91268	1600	1	1	1	1	1	1	1	0		
W	91268	1630	3	3	3	3	3	2	2	1		
W	91268	1700	7	6	6	6	5	5	4	3	1	0
W	91268	1730	10	9	9	8	8	6	6	4	1	
W	91268	1800	12	11	10	9	8	7	5	2	0	
W	91268	1830	12	11	11	10	9	7	6	3	0	
W	91268	1900	14	13	13	12	10	8	7	4	0	
W	91268	1930	18	17	16	15	13	10	8	4		
W	91268	2000	19	18	17	15	13	11	7	4	0	
W	91268	2030	21	20	19	17	15	13	10	5	0	
W	91268	2100	27	25	24	22	19	16	12	7	1	
W	91268	2130	30	29	27	25	21	18	14	9	1	
W	91268	2200	36	35	33	29	25	22	16	12	2	
W	91268	2230	35	33	32	30	28	25	19	14	2	
W	91268	2300	42	40	38	34	31	28	21	13	1	

